

$\text{CO}_2 \dots \text{NH}_3$

1985

Amos R. D., Hardy N.C.,
et al.

pacrin J. Phys. Chem., 1985, 89,
exkmpur. N 11; 5th Amer. Conf..
monomer. Theor. Chem., Grand Te-
ton Nat. Park, Wyo., June
15-20, 1984, 2186 - 2192.
(cu. CO_2 ; III)

$\text{CN}^- \cdot \text{H}_2\text{O}$

1985

Д) 11 Б1086. Квантово-химическое исследование взаимодействия цианид-иона с молекулой воды. Барановский В. И., Фомичева В. П., Иванова Н. В., Сизова О. В. «Ж. структур. химии», 1985, 26, № 6, 37—41

На основании иеэмпирич. расчетов методом МО ССП в базисе 4—31 ГФ изучено взаимодействие иона CN^- с молекулой H_2O . Для наиболее стабильных геометрич. конфигураций рассчитаны силовые постоянные и частоты вал. кол. Н-связи и связи С—N и деф. кол. для угла $\text{H} \dots \text{N}—\text{C} (\text{H} \dots \text{C}—\text{N})$. Результаты сопоставлены с данными для незаряженной системы $\text{HCN} \cdot \text{H}_2\text{O}$.

Резюме



X.1986, 19, N 11

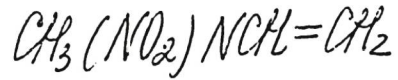
$\text{HCN} \cdot \text{H}_2\text{O}$

1985

Барановский? В. И.,
Полещёва В. П. и др.

Vi; Ж. структур. химии,
1985, 26, N 6, 37-41.

(см. $\text{CN}^- \cdot \text{H}_2\text{O}$; III)



1985

Батюхина О.Р.,

автореферат докторской
степени на соискание ученой степени
доктора физико-математических наук,
на основе

законов
электромагнитного
распространения

Строение сложных полигидридных
и кетено-полигидридных
соединений
на основе
законов
электромагнитного

Лот. № 20863

1985

$\text{CH}_3\text{CH}_2\text{NO}_3$

Береснева Р.А., Красногор-
ко А.В. и др.,

(Vi)

Вестн. МГУ. Химия,
1985, 26, № 1, 34-40.



CO_2 HCN

1985-

Cooper D.L.;
Stretchbury N.Y.

Pacrem
empykm., 1985, 120, N2, 167-
110;
Chem. Phys. Lett.,
120, N2, 167-
-172.

(Cell. HF; III)

$\text{CH}_3\text{CH}_2\text{NCO}$

дт. 22706 1985

8 Б1091. Строение молекул этилизоцианата и этил-изотиоцианата по данным газовой электронографии. Electron diffraction investigation of the molecular structures of ethyl isocyanate and ethyl isothiocyanate. Gaddock Stephen, Durig J. R., Sullivan J. F. «J. Mol. Struct.», 1985, 131, № 1—2, 121—130 (англ.)

Электронографические и лит. микроволновые данные использованы для уточнения конформаций $\text{CH}_3\text{CH}_2\text{NCO}$ (I) и $\text{CH}_3\text{CH}_2\text{NCS}$ (II). В обоих случаях наиболее вероятен цис-конформер (метил затеняет NCX-группу), но для I согласие достигается также при отклонении на 45° от цис-ориентации. Это объяснено наличием ангармонич. двумерного Пт, связывающего деформации при атоме азота и внутр. вращение относительно связи C—N. В пренебрежении крут. кол. получена эффективная r_{av}^* -структура, параметры к-рой для I и II составляют: C—N 144,8(9) и 143,8(7) пм, C—H 108,4(7) и 110,5(8), C—C 152,4(11) и 152,0(8), C=N 121,8(5) и 118,7(5), C=X 117,4(4) и 158,0(4), валентные углы CCN 114,7(16) и 111,0(8) $^\circ$, CNC 132,2(22) и 147,4(20), NCX 192,2(25) и 184,5 (30). В. С. Мастрюков

хомология,
структур

(1)

(2)

Х. 1986, 19, N 8

CH₃CH₂CH₂ONO

Дн 21950

1985

6 Б1391. Микроволновый спектр транс-, гош-, транс-пропилнитрита. Endo K., Higayama S., Sugimura Z., Suzuki N., Kamura Y. «Нихон кагаку кайси, J. Chem. Soc. Jap., Chem. and Ind. Chem.», 1985, № 8, 1519—1522 (яп.; рез. англ.)

Измерены в области частот 8,5—32 ГГц врачац. спектры нормального изотопич. образца пропилнитрита, CH₃CH₂CH₂ONO (I), и ¹⁵N-изотопозамещенного, CH₃CH₂CH₂O¹⁵NO (II), в основном и одном возбужденном колебат. состояниях. Анализ спектров выполнен с использованием гамильтониана Уотсона с двумя постоянными квартичными центробежного искажения. Для I и II соотв. врачац. постоянные в основном состоянии равны (МГц): A = 14266 (65) и 14134(35), B = 1485,73(1) и 1474,74(1), C = 1446, 52(1) и 1436,47(1). В предположении, что двухгранные углы $\angle(\text{CO}-\text{NO})=180^\circ$, $\angle(\text{CC}-\text{CO})=180^\circ$ соответствуют транс-конфигурации, и при фиксированных шести структурных параметрах определена r_0 -структуре I $r(\text{C}-\text{O})=1,438(6)$ Å, $r(\text{O}-\text{N})=1,420(6)$ Å, $r(\text{N}=\text{O})=1,172(6)$ Å, $\angle \text{CON}=112,8(5)^\circ$, $\angle \text{ONO}=111,2(5)^\circ$, $\angle(\text{CC}-\text{ON})=85,4(6)^\circ$.

*D_i, M.N.
геометр.
структур
Х. 1986, 19, № 6*

С. Н. Мурзин

OC ... HCN

1985

105: 12505t Theoretical study on hydrogen bond formation between carbon monoxide and hydrogen cyanide. Fu, Xiaoyuan; Ma, Yong (Dep. Chem., Beijing Norm. Univ., Beijing, Peop. Rep. China). *Beijing Shisan Daxue Xuebao, Ziran Kexueban* 1985, (3), 65-7 (Ch). The mol. structure and energy of the OC...HCN H-bonded complex were studied with ab-initio, SCF-MO calcns. The C...H-C H-bond is collinear, with a stabilization energy of 2.6 kcal/mol (at the 4-31G-basis-set level). The various energy components of the heat of H-bonding were analyzed.

СНРУКМУРа и
Ирп. Характ.
МЕОР-реакт

C.A. 1986, 105, N2

$\text{CH}_3\text{CO}_2\text{NH}_4$

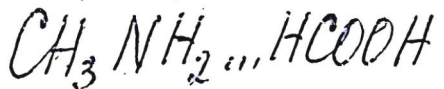
1985

103: 203002v Vibrational spectrum and normal coordinate analysis of $\text{CX}_2\text{CO}_2\text{NX}_4$ ($\text{X} = \text{H}$ or D). Kanesaka, Isao; Tanbo, Hironori; Kawahara, Hisakazu; Kawai, Kiyoyasu (Fac. Sci., Toyama Univ., Gofuku, Toyama, Japan 930). *J. Raman Spectrosc.* 1985, 16(5), 297-302 (Eng). The vibrational spectrum of $\text{CH}_3\text{CO}_2\text{NH}_4$ at room temp. and 77 K is reported. The obsd. factor group splitting between 4 acetate ions is slight in each internal mode. The normal coordinate anal. was carried out under the assumption of neglect of H atoms. Good agreement between obsd. and calcd. frequencies was obtained for the lattice vibrations. The H. bond has considerable strength and a very strong Raman band at 58 cm^{-1} in $\text{CH}_3\text{CO}_2\text{NH}_4$ is a libration of the acetate ion about an axis perpendicular to the mol. plane. The strong IR band at 260 cm^{-1} in $\text{CH}_3\text{CO}_2\text{NH}_4$ is discussed.

(Ref. NRCM)

D, IR CREF

c.A. 1985, 103, n 24



1985

Koller J., Harb V., et al.

M.R., J. Mol. Struct., 1985,
empf.korr. 122, N 3-4, Suppl.; Theo-
chem, 23, N 3-4, 343-350.

(recd. NH_3HOF ; iii)

HOCH₂CH₂C:N

1985

(Mf CNEP)

102: 175319n Microwave spectrum, conformational equilibria, intramolecular hydrogen bonding, dipole moment and centrifugal distortion of 3-hydroxypropanenitrile. Marstokk, K. M.; Moellendal, Harald (Dep. Chem., Univ. Oslo, N-0315 Oslo, 3 Norway). *Acta Chem. Scand., Ser. A* 1985, A39(1), 15-31 (Eng). The microwave spectra of 3-hydroxypropanenitrile, HOCH₂CH₂C:N, and one deuterated species DOCH₂CH₂C:N, were investigated in the 18.0-39.6 GHz spectral region at room temp. Three conformations of the mol. were assigned. The heavy-atom gauche conformation is stabilized by a weak, internal H bond formed between the hydroxyl group H atom and the π -electrons of the cyano group. The 2nd assigned conformation denoted anti I has a heavy-atom anti arrangement and C₂-symmetry, and the 3rd identified conformation called anti II has the hydroxyl group hydrogen atom rotated approx. 120° out of the plane formed by the heavy atoms. The internal energy difference was 2.7(4) kJ/mol by relative intensity measurements between anti I and gauche, with the latter as the more stable conformation. Anti II was likewise found to be 7.4(24) kJ/mol less stable than the gauche. The strength of the intramol. H bond is taken to be approx. equal to the energy difference between the gauche and anti II conformations, viz. 7.4(24) kJ/mol. 3-Hydroxypropanenitrile is the 1st example of a 2-substituted ethanol deriv. for which both a H-bonded gauche as well as 2 anti conformations were assigned by microwave spectroscopy.

C.A. 1985, 102, N20

C₆H₅NO₂

1985

№ 5 № 214. Фурье-спектроскопия электронных полос в ближней ИК-области. Крутильный барьер нитробензола в состоянии A^1A'' . Fourier-transform electronic spectroscopy in the near-infrared: torsional barrier of the A^1A'' state of nitrosobenzene. Mc Coustra M. R. S., Pfab J. «Chem. Phys. Lett.», 1985, 122, № 4, 395—400 (англ.)

Получены спектры ИК-поглощения паров нитробензола при 53°—120° С в слоях 15 см—10 м с разрешением 1 см⁻¹ в области 11 000—12 000 см⁻¹, связанные с электронным переходом $A^1A'' \leftarrow X^1A'$. Приведены частоты наблюденных полос и их отнесение к переходам, связанным с возбуждением крутильных колебаний нитрогруппы. В некоторых случаях обнаружены компоненты горячих переходов с возбужденных крутильных уровней. Выполнены расчеты спектра с учетом барьера для внутреннего вращения, его величина для основного состояния принята равной 1290 см⁻¹. Библ. 22. М. В. Т.

(д.н.)
сф. 1986, 18, N 5

CH_2NO_2

(On 22x17)

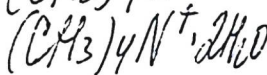
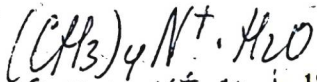
1985

Ziegler,
Di
ab initio
paaren

nickel cl. L.,

J. Amer. Chem. Soc.;
1985, 107, N⁷, 1900-1904.

1985



18 Б1112. Необычные ионные водородные связи. 1.
 $CH_3^+ \dots X$. Комплексы четвертичных ионов с *n*- и π -
донорами. Unconventional ionic hydrogen bonds. 1.
 $CH_3^+ \dots X$. Complexes of quaternary ions with *n*- and
 π -donors. Meot-Neg (Маутнер) M., Deaky-
ne C. A. «J. Amer. Chem. Soc.», 1985, 107, № 2, 469—
474 (англ.)

Неэмпирическим методом ССП МО ЛКАО в базисе
3-21ГФ с частичной оптимизацией геометрич. парамет-
ров проведены расчеты некоторых возможных структур
комплексов Me_4N^+ с одной и двумя молекулами H_2O , а
также CH_3OH , CH_3NH_2 и CH_3Cl . Из результатов расче-
тов следует, что энергетически наиболее выгодной яв-
ляется такая структура комплекса, в к-рой гетероатом
лиганда (O, N или Cl) взаимодействует с тремя атома-
ми H 3 различных метильных групп. Полученный ре-
зультат интерпретирован на основе анализа зарядового
распределения в исследованных комплексах. Получен-
ные результаты использованы для обсуждения эксперим.
данных по энергетике Н-связей с четв. аммониевыми
ионами.

струтура

+3

X. 1985, 19, N 18

И. А. Абронин

CH_2NO_2

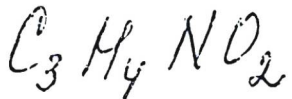
(DM-22254)

1985

Ritchie J. P.,

1985
published.
Jelkimpot.
NeomH.,
meop.
pacrem.

J. Amer. Chem. Soc.,
1985, 107, N^o 1829 -
- 1837.



1985

Tepitsyn I. F., Shibaev A.
Yu.

meop.: Teor. Eksp. Khim. 1985,
pačerem 21(5), 590-4.
cēprukm.

(cer. $C_3H_5^-$; III)

$\text{OCN}^- - \text{H}_2\text{O}$

1986

15 Б1109. Квантово-химический расчет потенциальной поверхности взаимодействия $\text{OCN}^- - \text{H}_2\text{O}$. Барановский В. И., Сизова О. В., Иванова Н. В., Ермолова Т. Т. «Ж. структур. химии», 1986, 27, № 1, 9—14.

Методом ССП МО в базисе 4-31 ГФ рассчитана потенциальная Пв взаимодействия $\text{OCN}^- - \text{H}_2\text{O}$. Установлено, что наиболее устойчивы структуры с одной связью, образованной концевыми атомами OCN^- . Для ряда структур вычислены энергии Н-связи, а также силовые постоянные и частоты колебаний, соотв. растяжению Н-связи. Потенциал взаимодействия $\text{OCN}^- - \text{H}_2\text{O}$ представлен в аналитич. виде.

Резюме

расчет
потенци-
альной
поверхности

X. 1986, 19, N 15.

$\mu(\text{OH})\text{CN}(\text{OH})_{(2)}^+$ (OM-23386) 1986
 $\text{HCN}(\text{OH})_2^{+}(2)$ Baer T., Hass J.R.

диссерт.
степень.
результаты,
1986 г.,
90, № 3, 437 - 455.

Л.Н.

CH_3ONO_2 [Om. 24146]

1986

CD_3ONO_2

BOCK Ch.W.,

конфам.
спектр.,
структура,
ab initio

расч.

Krasnoshchikov S.V.,
Khristenko L.V., et al.,

Chem. Phys., 1986, 106,
N1, 69- 73.

Om. 26567

1986

H₃N^{..} Cl₂

NH₃^{..} Cl₂^{..} NH₃
u gp.

(mering
cf - 8a)

Buckingham A.D.
Hardy N.C. et al.,

J. Comput. Chem.,
1986, 7, N3, 283-293

[Dm. 26567]

1986



II gp.

смыкы,

ii, ab initio
pacem

Buckingham A.D.,
Handy N.C. et al.,

J. Comput. Chem.,
1986, 7, N3, 283-293.

$(\text{CH}_3\text{NO}_2)_2$

1986

} 24 Б1146. Расчет взаимодействия в димере нитрометана с учетом корреляции электронов. Correlated calculation of the interaction in the nitromethane dimer. Cole Samuel J., Szalewicz Krzysztof, Purvis George D., Bartlett Rodney J. «J. Chem. Phys.», 1986, 84, № 12, 6833—6836 (англ.)

Неэмпирическим методом ССП в двухэкспонентном гауссовом базисе, дополненном поляризац. ф-циями, проведены расчеты димера $(\text{CH}_3\text{NO}_2)_2$ (I) с учетом корреляции электронов по многочастичной теории возмущений (учтены одно-, двух- и четырехкратные возбуждения), дисперсионной энергии и суперпозиционной ошибки базисного набора (СОБН), вычисляемого по методу уравновешивающей ф-ции. Рассмотренная конфигурация I характеризуется образованием двух Н-связей C—H...O между атомом O одной молекулы и атомом H другой. В хартри-фоковском пределе и в расчете с учетом корреляции электронов энергия взаимодействия ΔE найдена равной 3,57 и 5,04 ккал/моль соотв. Учет СОБН и дисперсионной энергии повышает ΔE до 5,62 ккал/моль.

Э. Д. Герман

11.11.
X.1986, 19, N 24

1986

105: 66803g Correlated calculation of the interaction in the nitromethane dimer. Cole, Samuel J.; Szalewicz, Krzysztof; Purvis, George D., III; Bartlett, Rodney J. (Quantum Theory Project, Univ. Florida, Gainesville, FL 32611 USA). *J. Chem. Phys.* 1986, 84(12), 6833-6 (Eng). The interaction energy of the nitromethane dimer at several sepn. between the monomers was calcd. by using fourth-order many-body perturbation theory (MBPT), with single, double, and quadruple (SDQ) excitations included. The SCF counterpoise (CP) correction, and second-order dispersion energy were also compared. A double-zeta plus polarization basis was used. The monomers were oriented so that a hydrogen atom on each monomer could form a hydrogen bond with an oxygen on the other monomer. An interaction energy of 3.57 and 5.04 kcal/mol was found at the SCF and SDQ-MBPT(4) levels of theory, resp. The CP-cor. SCF energy added to the second-order dispersion energy gave an interaction energy of 5.62 kcal/mol.

C. A. 1986, 105, N8

HCON(C₂H₅)₂

1986

8 Б3018. Измерение теплоемкости диэтилформамида с помощью автоматизированного адиабатического калориметра. Heat capacity measurement of diethylformamide by an automatically-adiabatic calorimeter / Chen Guangming, Zhao Guanchun // Thermophys. Prop.: Proc. 1st Asian Thermophys. Conf., Beijing, Apr. 21—24, 1986.— Beijing, 1986.— С. 169—174.— Англ. Место хранения ГПНТБ СССР

(G)
Сконструирован автоматич. адиабатич. калориметр (Кл) для определения термофиз. св-в газопоглощающих систем в интервале т-р 250—370 К. Полученные с помощью этого Кл данные для корунда и и-гептана согласуются с рекомендованными NBS в пределах $\pm 0,14$ и $\pm 0,31\%$ соотв. При т-рах 270—373 К измерена C_p диэтилформамида. Данные аппроксимированы ур-нием C_p (Дж/К · моль) = $8,695526 + 1,554063T - 4,315693 \cdot 10^{-3} T^2 + 4,497554 \cdot 10^{-6} T^3$. Р. Г. Сагитов

X. 1989, № 8

(ChNNOz) Селюсково Т. Н., 1986

Строение ряда азотодер-
жателей соединений на
основе сертога 20306 и
структуре электрографии.

Автореферат докторской на-
учной степени ученой степени
к. х. н., Ильинка, 1986, ИГУ.



1986

Егорчева Т. Л.,

Строение ряда азотсодержащих соединений НО₂.
Структура основе метода 2D-спектров
Электролюминесценции.

Автореферат диссертации на
консультацию членов жюри кандидата химии
Москва, 1986, МГУ.

(Om. 24728)

1986



Endo K., Tanuma R.,
et al,

NF mekmp,

M.N. g. Chem. Soc. Jap., Chem.
and Ind. Chem., 1986,
N8, 1051-1054.

$(CH_2)_2O$.. HCN

1986'

Goodwin Elizabeth J.,
Legon A.C., et al.

6p. cneemp. Z. Chem. Phys. 1986,
85(2), 676 - 82.

(cii. $(CH_2)_2O$; $\ddagger\ddagger$)

$[ON(CH_3)CONH_2]^-$

1986

16 Б1258. Анализ нормальных колебаний аниона N-метил-N-гидроксимочевины $[ON(CH_3)CONH_2]^-$. Харитонов Ю. Я., Саруханов М. А., Сливко С. А. «Ж. неорг. химии», 1986, 31, № 4, 890—895

Проведен приближенный анализ нормальных колебаний аниона N-метил-N-гидроксимочевины $[ON(CH_3)CONH_2]^-$. Рассчитаны силовые константы, частоты, нормированные формы колебаний, распределение потенциальной энергии по внутр. колебат. координатам. Дано теорет. обоснование отнесения основных колебат. частот. Обсужден характер изменения силовых констант при переходе от нейтр. молекулы к иону. Резюме

анализ
нормальн. колеб.
(ν_i)

ж. 1986, 19, № 16

$H_2O \dots HCN$

1986

Minchiffe Alan.

noeem., g. chl. Strict.

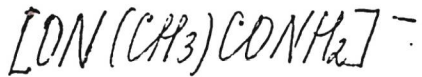
Theochem, 1986, 136,
N 1-2, 193-199.

(c.c. $NH_3 \dots HCN$; III)

CH_3HNOH [Dm. 25438]

1986

Kysel O., Mach P.,
J. Mol. Struct. Theo-
chem., 1986, 139, N3-4,
333-337.



1986

105: 199411z Normal vibrational analysis of N-methyl-N- α -hydroxyurea anion $[ON(CH_3)CONH_2]^-$. Kharitonov, Yu. Ya.; Sarukhanov, M. A.; Slivko, S. A. (Mosk. Khim.-Tekhnol. Inst., Moscow, USSR). *Zh. Neorg. Khim.* 1986, 31(4), 890-5 (Russ). An approx. anal. of the normal vibrations of the anion of *N*-methyl- α -N-hydroxyurea $[ON(CH_3)CONH_2]^-$ was conducted. Force consts., frequencies, normal vibration shape and distribution of potential energy according to internal vibrational coordinates were caled. The theor. basis for the assignment of basic vibrational frequencies is given. The character of the changes of the force consts. during the transition from the neutral mode to the ion is discussed.

Chem. NOCM.)
Pi)

c.A.1986, 105, N 22

$(CH_3)_3CNO$

1986

17 Б4367. Фотодиссоциация $(CH_3)_3CNO$ охлажденного в газовой струе. Разделение во времени безызлучательных переходов и мономолекулярных реакций. Photodissociation of jet-cooled $(CH_3)_3CNO$. Temporal separation of radiationless transitions and unimolecular reactions. Noble M., Qian C. X. W., Reisler H., Wittig C. «J. Chem. Phys.», 1986, 84, № 6, 3573—3574 (англ.). Место хранения ГПНТБ СССР

фотодиссоц.

С использованием перестраиваемого в области 670—710 нм импульсного лазера на красителе зарегистрированы спектры лазерно-индуцированной Фл 2-метил-2-нитрозопропана (I), охлажденного в сверхзвуковой струе Не, истекающей в вакуум. Одновременно измеряли спектры фотодиссоциации (ФД) I с образованием NO через различные промежутки времени t (от 60 нс до 5 мкс) после фотолизующего импульса. Образование NO регистрировали методом однофотонной лазерно-индуцированной Фл с использованием лазерного излучения 226 нм. Показано, что для различных вибронных уровней времена жизни Фл $I < 45$ нс. При энергиях фотолизующего света, превышающих энергию нулевого колебат. уровня S_1 -состояния I на величины $E <$

Х. 1986, 19,
N 17

$<600 \text{ см}^{-1}$, удается разделить во времени процессы затухания Фл и диссоциации I, поскольку при этих E образование NO протекает медленно (для некоторых уровней времени появления $\text{NO} > 1 \text{ мкс}$). Сделан вывод, что Дс должна протекать с низкоэнергетич. Пв, наиболее вероятно S_0 и, следовательно, получаемые скорости можно сравнивать с предсказаниями теории мономолек. распада Райса — Рамсперпера — Касселя — Маркуса при принятии энергии диссоциации $D_0(\text{CMs}_3 - \text{NO}) \approx 14\ 200 \text{ см}^{-1}$. При $E \geq 600 \text{ см}^{-1}$ время появления NO сильно сокращается ($\leq 40 \text{ нс}$) из-за открытия нового канала Дс I, вероятно, с участием триплетного состояния.

В. Е. Скурат

учен
рукт

$(CH_3)_3 CNO$ Om. 26d06 1986

Noble M., Qian C.X.W. et al.

creamp J. Chem. Phys., 1986, 85,
N10, 5763 - 5773.

$XCH=CHOH$. [Om. 23366]

1986

$X = CN, HF$ Plant C., Spencer K.,
et al.,

внутрен-
связание,
структур,
ab initio
расчет

J. Mol. Struct., 1986,
140, N3-4, 317-326.

$(CH_3)_2NOM$

1987

107: 14835r Analysis of the ground-state vibrations of N,N-dimethylhydroxylamine. Boehlig, Heinz; Franke, S.; Fruwert, J. (Sekt. Chem., Karl Marx Univ., Leipzig, Ger. Dem. Rep.). *Z. Phys. Chem. (Leipzig)* 1987, 268(2), 355-63 (Ger). On basis of the IR spectra at of 400-1000 cm^{-1} , an assignment of normal vibrations of various conformers of $\text{Me}_2\text{NOH(D)}$ was carried out using a normal coordinate anal. The Bohlmann bands in the region of CH stretching vibrations were characterized by means of the eigenvectors and the potential energy distribution. The weakening of trans CH and OH bonds in consequence of the trans lone pair effect appears in the corresponding stretching force consts. of the modified valence force field. A comparison of obsd. and calcd. vibrational frequencies indicates the existence of conformers, the OH bonds and Me groups of which are arranged in cis and trans position with respect to the lone pair on Ni.

(lk cremp)

C.A. 1987, 107, N2

$[\text{CH}_2\text{D}\cdot\text{H}\cdot\text{NH}_3]^+$ | Om. 26009]

1987

$[\text{CH}_2\text{NH}\cdot\text{H}\cdot\text{OH}_2]^+$

Bouchoux F., Hop-
pelliard Y.,

ab initio
pacem

Int. of Mass Spectro-
metry and Ion Processes,
1987, 50 75, 1-14.

CH3OC2H4NH2 (In. 25888) 1987

106: 57992m 2-Methoxyethylamine: detection of a second conformer by microwave spectroscopy. Caminati, Walther (Ist. Chim. Fis. Spettroscop., Univ. Bologna, I-40136 Bologna, Italy), *J. Mol. Spectrosc.* 1987, 121(1), 61-8 (Eng). In a previous microwave investigation of $\text{MeOCH}_2\text{NH}_2$ the spectrum of an internally H bonded conformer (*G*) was reported. (Wilson, E. B.) (1980). Now the rotational spectrum of a 2nd internally H bonded conformer (*T*) is assigned. In spite of its lower energy ($E_T - E_G = -85(30)$ cm $^{-1}$), the spectrum of *T* was not obsd. previously because of the unfavorable ratio of the μ_a dipole moment components: $\mu_a^2(G)/\mu_a^2(T) = 15.63$. The ^{14}N quadrupole coupling consts. and the V_3 Me barrier to internal rotation were detd.

М. С. Кекин,
С. П. Якубова

c. A. 1987, 106, n 8

NH₂CH₂CH₂COCl₃ (M. 27109)

1987

C₃NHgO

Lamirati W.,
Siam K., Ewfark G.D.,
Yf creeper et al.,
U.N.

J. Mol. Struct., 1987,
158, 237-247

$\text{HCON}(\text{CH}_3)_2$ [Om. 26803]

1987

Dimitrov V.S., Ladd J.A.

and N.O.C.M.,
Y. Iwase, J. Mol. Struct.; 1987, 159,
ab initio VT-2, 107-112.
racem

CH3CH2CH2ONO | Om. 28408 |

1987

Endo K., Furuehashi A.,

"Hunnon karaku kaisei,

J. Chem. Soc. Far.,

Chem. and Ind. Chem.,

№ 6 снекрп,
спрукнурा

1987,

N12, 2227-2230

$H_2CO \dots HCN$

1987

$H_2C \dots HCN$

7 Б1351. Влияние ослабления водородной связи на угловую геометрию $H_2CO \dots HX$. Данные из вращательного спектра $H_2CO \dots HCN$. Effect of weakening the hydrogen bond on the angular geometry of $H_2CO \dots HX$. Evidence from the rotation spectrum of $H_2CO \dots HCN$. Goodwin E. J., Legon A. C. «J. Chem. Phys.», 1987, 87, № 5, 2426—2432 (англ.)

На микроволновом (МВ) фурье-спектрометре с импульсным соплом в обл. частот 6—18 гГц с разрешением около 16 кГц и точностью около 1 кГц измерены вращат. спектры трех изотопич. образцов слабо-связанного гетеродимера $H_2CO \dots HC^{14}N$ (I), $H_2C \dots HC^{15}N$ (II) и $H_2CO \dots DC^{14}N$ (III) в основном колеб. состоянии. Анализ МВ-спектров выполнен с учетом квартичного центробежного искажения и ^{14}N -ядерного квадрупольного взаимодействия. Вращат. постоянные I, II и III, соотв., равны $A = 91,2$ (7,5), 98,5

М.Н.

(H) ~~X~~

X. 1988, 19, N 7



$H_2CO \dots DCN$

(3,8) и 88,2 ГГц, $B = 1785,6217(10)$, $1736,8673(6)$ и
1787,955(19) МГц, $C = 1749,7215(10)$, $1702,7860(6)$ и
1748,254(19) МГц. Димер обладает плоской структу-
рой с Н-связью $\text{C}=\text{O}\dots\text{H}-\text{C}$ и углом между связями
 $\text{C}=\text{O}$ и CH $\theta = 138,1^\circ$ и расстоянием $\text{O}\dots\text{C}$ 3,271 Å.
Определена силовая постоянная Н-связи и обсуждены
причины роста величины θ для $\text{H}_2\text{CO}\dots\text{HCN}$ по срав-
нению с $\text{H}_2\text{CO}\dots\text{HF}$ ($109,5^\circ$). С. Н. Мурзин

H_2 CO... HCN

1987

Goodwin Elizabeth J.,
Legon A. C.

Mr. n. J. Chem. Phys., 1987,
87, NS, 2426 - 2432.

(See H_2 CO.., HF; II)

CH₂NO₂

от 27.7.57 1987

→ 6 Б1328. Анализ колебательного спектра свободного нитрометильного радикала. Analysis of the vibrational spectrum of the nitromethyl free radical. Jacobs M. E. «J. Phys. Chem.», 1987, 91, № 19, 5038—5041 (англ.)

Рассмотрено отнесение частот колебаний свободного нитрометильного радикала, CH_2NO_2 (I) и 4-х его изотопозамещенных (по ^{13}C , D, ^{15}N) аналогов в ИК-спектрах поглощения матрично-изолированных комплексов вида I...HF («J. Phys. Chem.», 1983, 87, 3126). Для плоской модели I симметрии C_{2v} с использованием эксперим. частот колебаний всех изотопомеров рассчитано силовое поле I отдельно для плоскостных и вне-плоскостных колебаний. Полученное удовлетворит. совпадение эксперим. и рассчитанных частот колебаний рассматривается как подтверждение правильности выбранной геометрии I. Наборы фундаментальных частот колебаний изотопомеров I проверены на выполнение правила произведений Теллера—Редлиха.

Г. М. Курамшина

*анализ
колебат.
спектра*

X. 1988, 19, N6

CH₂NO₂

ОМ. 27757

1987

З Л222. Анализ колебательного спектра нитрометильного свободного радикала. Analysis of the vibrational spectrum of the nitromethyl free radical. Jacob Marilyн E. «J. Phys. Chem.», 1987, 91, № 19, 5038—5041 (англ.)

Проведен теоретич. анализ колебательных спектров нитрометильного свободного радикала, CH_2NO_2 (I) с использованием модельной плоской структуры I типа симметрии C_{2v} . Рассчитаны частоты нормальных колебаний, значения силовых постоянных связей и распределение потенц. энергии по набору колебательных состояний I. Обсуждена зависимость спектроскопич. постоянных с изотопич. состава I. Рассмотрено влияние резонанса Ферми на смещение полос в колебательных спектрах I. Установлено, что найденное значение силовой постоянной связи C—N согласуется с одиночным характером этой связи в I. Библ. 34. И. В. А.

И.Н.

φ. 1988, 18, N3.

CH_2NO_2

(On 27757) 1987

107: 123516h Analysis of the vibrational spectrum of the nitremethyl free radical. Jacox, Marilyn E. (Mol. Spectrosc. Div., Natl. Bureau Standards, Gaithersburg, MD 20899 USA). *J. Phys. Chem.*, 1987, 91(19), 5038-41 (Eng). The vibrational spectra previously reported for the free radical CH_2NO_2 and its isotopically substituted counterparts were assigned. The agreement obtained in a least-squares force const. adjustment calcn. is sufficient to provide strong support both for this assignment and for the assumed C_{2v} symmetry of CH_2NO_2 . The magnitude of the CN-stretching force const. is appropriate for a C-N single bond.

(D)

c.A. 1987, 107, N14

$H_2NC_2H_4OH$

1987

107: 30413g Vibrational spectrum of ethanolamine. Korolevich, M. V.; Sivchik, V. V.; Matveeva, N. A.; Zhbankov, R. G.; Lastochkina, V. A.; Frenkel, M. L.; Ladut'ko, A. I.; Pavlov, A. V.; Petryaev, E. P. (USSR). *Zh. Prikl. Spektrosk.* 1987, 46(4), 620-4 (Russ). The work is devoted to the theor. and exptl. study of the vibrational spectrum of $H_2NC_2H_4OH$. The calcn. of spectra for 3 conformers has made it possible to reveal in the $H_2NC_2H_4OH$ spectrum frequencies sensitive to conformational states of the mol.

CONFIDENTIAL
COPYRIGHT

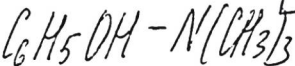
c. A. 1987, 10%, NY

C-N-O-H [Dm. 28291]

1987

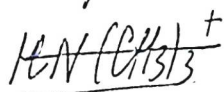
heroy G., Sara M.,
Wilante C., et al.,
cmplxmy-
(PA, SFT)
(D) g. Mol. Struct. Theo-
chem., 1987, 153, N 3-4,
249- 267.

Koizumke | DM. 28121] 1987



Mikami N., Suzuki I.,
et al.,

Myzumoto H.
Koseyama



J. Phys. Chem., 1987,
91, N20, ● 5242-47.

CH₄-NO

(Om. 26428)

1987

Miller G.C.,

Bilbao.
creep,
do

J. Chem. Phys., 1987, 86,
N6, 3166 - 3171.

[DNHCON_H] DM. 25512 / 1987

Сибко С.А., Саруханов М.А.,
Харитонов И.Л.,

Ди, асп. нос.

Дл. неоргн. химии,
1987, № 32, № 2,
303-306.

$\text{HCON(CH}_3\text{)}_2$

CM 28594

1987

107: 105257v The vibrational spectra of amides - II. The force field and isotopic shifts of N,N-dimethyl formamide. Steele, D.; Quatermain, A. (Dep. Chem., Royal Holloway and Bedford New Coll., Egham/Surrey, UK TW20 0EX). *Spectrochim. Acta, Part A* 1987, 43A(6), 781-9 (Eng). The effects of $^{16}\text{O} \rightarrow ^{18}\text{O}$ substitution on the vibrational frequencies of DMF were studied. To understand these and the effects of previously measured shift data due to ^{13}C , ^2H , and ^{15}N , ab initio calcns. of frequencies and intensities were carried out at the 3-21G level. Accord between theory and expt. is generally good. There is a prediction of a weak band at $\sim 2000 \text{ cm}^{-1}$ in DMF due to in-plane interaction between the Me umbrella modes and the anti-sym. CN stretch. This abnormally high frequency is explained as arising due to the planar trigonal CaN entity. Previous problems in reproducing isotope shifts are due to this mode being previously assigned at $\sim 1500 \text{ cm}^{-1}$. The effects of suppressing ref. to 1 of a set of internal valence angles involved in a redundancy are explored. The principal effect is to add the diagonal quadratic const. for that coordinate to all other quadratic terms involving pairs of the angles involved in the redundancy. This results in large, almost equal, interaction consts. amongst this set. The ab initio field is compatible with ab initio fields of mono N-Me amides extant in the literature.

Chem. NO CM .

C. A. 1987, 107, N/2

C_2H_5NCO

DM 26396 1987

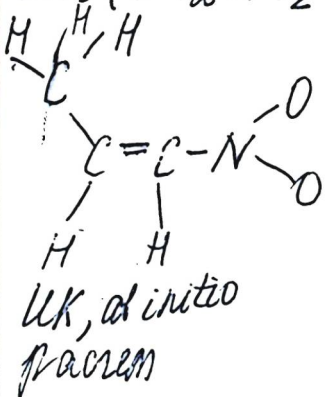
106: 128142x Vibrational spectrum, normal coordinate analysis, ab initio calculations, and conformational stability of ethyl isocyanate. Sullivan, J. F.; Durig, D. T.; Durig, J. R.; Cradock, Stephen (Dep. Chem., Univ. South Carolina, Columbia, SC 29208 USA). *J. Phys. Chem.* 1987, 91(7), 1770-8 (Eng). The IR (3500 to 40 cm^{-1}) and Raman (3500 to 20 cm^{-1}) spectra of gaseous and solid EtNCO, were recorded. The IR spectrum of the sample isolated in a N_2 mat. was also recorded from 3500 to 200 cm^{-1} . Addnl., the Raman spectrum of the liq. was recorded and qual. depolarization values were obtained. An assignment of the fundamental vibrations based on the IR band contours, depolarization values, and group frequencies is given and discussed. This assignment is supported by a normal coordinate anal. utilizing a modified valence force field to calc. the normal modes and the potential energy distribution. The Me torsional mode was obsd. at 265 cm^{-1} in the vapor state from which the 3-fold barrier to internal rotation is calcd. to be 1414 cm^{-1} (4.04 kcal/mol). A complete equil. geometry was detd. by an ab initio Hartree-Fock gradient calcn. employing STO-3G, 3-21G, and 6-31G* basis sets. These parameters are compared to those obtained from an electron diffraction study as well as those suggested from the microwave investigation. The calcns. give only one stable min. which is the one with the Me group trans to the NCO moiety which is inconsistent with both the rotational and electron diffraction data where the stable conformer is the one with the Me group eclipsing the NCO moiety. These results are compared with the corresponding quantities for some similar mols.

UK cretms,

V_0 , ν_i , eur.nod

C.A. 1987,
106, N 16.

$\text{CH}_3(\text{CH}_2)_2\text{NO}_2$ [Om. 28584] 28584)1987



Turner A.G., Casper W.R.,

Spectrochim. Acta,
1987, 43A, N 8,

975-980.

C-N-H-O

1988

22 Б3091. Стандартные энталпии образования некоторых полинитроалкильных производных нитраминов, амидов и карбоматов. Авдонин В. В., Кирпи-чев Е. П., Рубцов Ю. И., Коропин А. Г., Федоров Б. С., Еременко Л. Т. «12 Всес. конф. по хим. термодинам. и калориметрии. Тез. стенд. докл., Горький, 13—15 сент., 1988. Ч. 1.» Горький, 1988, 61.

Термохимические исследования 7-ми крист. нитро-соединений дали след. значения $-\Delta_c H^\circ$ и $-\Delta_f H^\circ$ (кДж/моль): $\text{C}(\text{NO}_2)_3\text{CH}_2\text{CH}_2\text{NH}(\text{NO}_2)$ 1771,1 и $124,3 \pm 2,1$; $\text{FC}(\text{NO}_2)_2\text{CH}_2\text{CH}_2\text{NH}(\text{NO}_2)$ 1730,9 и $343,5 \pm 1,3$; $\text{C}(\text{NO}_2)_3\text{CH}_2\text{NHC(O)NHCH}_2\text{C}(\text{NO}_2)_3$ 2482,8 и $342,3 \pm 2,1$; $\text{C}(\text{NO}_2)_3\text{CH}_2\text{NFC(O)NHCH}_2\text{C}(\text{NO}_2)_3$ 2560,2 и $297,9 \pm 2,1$; $\text{C}(\text{NO}_2)_3\text{CH}_2\text{N}(\text{NO}_2)\text{C(O)NHCH}_2\text{C}(\text{NO}_2)_3$ 2438,9 и $243,5 \pm 2,9$; $\text{C}(\text{NO}_2)_3\text{CH}_2\text{CH}_2\text{NFC(O)OCH}_2\text{C}(\text{NO}_2)_3$ 2920,9 и $477,4 \pm 2,9$; $\text{C}(\text{NO}_2)_3\text{CH}_2\text{CH}_2\text{N}(\text{NO}_2)\text{C(O)OCH}_2\text{C}(\text{NO}_2)_3$ 2794,9 и $423,4 \pm 1,3$. Оценены вклады групп $(\text{C})-\text{NHC(O)NH}-$ (C), $(\text{C})-\text{NFC(O)NH}-$ (C), $(\text{C})-\text{NFC(O)O}-$ (C) и $(\text{C})-\text{N}(\text{NO}_2)\text{C(O)O}-$ (C) в $\Delta_f H$ для конденси-рованного состояния, равные соотв. $-200,0$, $-155,6$, $-136,0$, $-322,2$ и $-262,8$ кДж/моль. А. С. Гузей

(Δff)

X. 1988, N 22

$(CN \cdot H_2O)^-$ Loerr. 29182] 1988

$(NC^- \cdot H_2O)^-$

Briznyuk A. A.,
Voityuk A. A.,

meop.
pacrem J. Mol. Struct. Theo-
chem., 1988, 164, N3-4,



343-349.

$\text{KCNH}^+ \cdot \text{H}_2\text{O}$

(OM-29182)

1988

Briznyuk A.A.,
Voityuk A.A.

meop.

pacrim J. Mol. Street. Theo-
chem. 1988, 16, N 3-4,



343 - 349.

$(CH_3)_2NH \cdot H_2O$ [on 29182] 1988

Briznyuk A. A.,
Voityuk A. A.

meop.
pacrin

J. Mol. Struct. Theo-
chem., 1988, 164, N 3-4,



343 - 349.

$\text{NH}_2\text{CH(OH)}\cdot\text{H}_2\text{O}$ [Dec. 29/82] 1988

meop.
paerim
Brizenyuk A. A.,
Voityuk A. A.
J. illol. Street. Theo-
chem. 1988, 164, N3-4,
343-349.

C-N-H-O consultare

1988

22 Б3102. Структура и реакционная способность азоэфиров. Теплоты сгорания и образования некоторых азоэфиров. Structura și reactivitatea azoetierilor. Căldura de combustie și de formare a unor azoeteri: Ciocăzanu Ion, Dogaru Viorica, Moga-Gheorghe Spiridon, Zăvoianu Dinu. «Rev. chim.» (RSR), 1988, № 3, 227—230 (рум.; рез. англ., рус.)

(ΔH_f)
Определены теплоты сгорания некоторых азоэфиров. Вычисл. из эксперим. данных значения $\Delta_f H^{\circ}$ (ккал/моль) составили: 2,5-диметил-4'- 130,20, 2-метил-4-хлор-4'-метоксиазобензол 123,5, 2,5-диметил-4- 81,20, 2-метил-4-хлор-4'- 115,25, 2,5-диметил-3'-хлор-4'- 74,56, 2-метил-3',4-дихлор-4'- 105,60, 4-этокси-3',5'-диметил-4'- 99,03, 4-этокси-3'-втор-бутил-4'- 34,25, 2-метил-4-хлор-3'-формил-4'-1 24,33, 4-этокси-3'-формил-4'- 83,45, 4-метил-3'-формил-4'-бензилоксиазобензол 94,20. Обсуждена взаимосвязь между структурой и реакц. способностью. Подчеркнуто влияние структуры на термодинамич. параметры.

Р. Г. Сагитов

X. 1988, № 22

c-C₃H₅-NCO DM. 29458] 1988

Durig J.R., Berry R.J.;
et al.,

NB creamys

J. Amer. Chem. Soc.,
1988, 110, N 3,
718-726.



ОТ 30792

1988

11 Б1255. Микроволновые спектры цис,транс-пропаргилнитрита. Microwave spectra of cis,trans-propargyl nitrite / Endo K., Fukuhashi A. // Ниппон кагаку кайси=J. Chem. Soc. Jap., Chem. and Ind. Chem.— 1988.— № 12.— С. 1925—1928.— Яп.; рез. англ.

На штарковском микроволновом (МВ) спектрометре в обл. частот 16—32 ГГц с точностью около 10 кГц измерены вращат. спектры двух изотопич. образцов цис,транс-пропаргилнитрита, $\text{HC}\equiv\text{CCH}_2\text{O}^{14}\text{NO}$ (I) и $\text{HC}\equiv\text{CCH}_2\text{O}^{15}\text{NO}$ (II), в основном колебат. состоянии. Анализ МВ-спектров выполнен в приближении модели жесткого асимм. волчка. Вращат. постоянные I и II, соотв., равны в МГц $M=19631,05(25)$ и $19419,78(20)$, $B=1794,50(1)$ и $1774,87(1)$, $C=1661,97(1)$ и $1643,61(1)$. При фиксированных параметрах для пяти длин связей и пяти углов связей в предположении линейности $\text{C}-\text{C}\equiv\text{C}-\text{H}$ определены четыре структурных параметра $r(\text{C}-\text{C})=1,472(8)$ Å, $r(\text{C}-\text{O})=1,437(4)$ Å, $\angle \text{CCO}=107,9(5)^\circ$, $\angle \text{CON}=113,6(5)^\circ$. Расчетные значения вращат. постоянных хорошо согласуются с эксперим. величинами.

С. Н. Мурзин

Х.1989, N 11

М.Л

CH₃OH-NH₃

Он 30 564

1988

12 Л164. Микроволновый спектр CH₃OH—NH₃. Microwave spectrum of the CH₃OH—NH₃ complex / Fraser G. T., Suenram R. D., Lovas F. J., Stevens W. J. // Chem. Phys.—1988.—125, № 1.—С. 31—43.—Англ.

С использованием микроволни. фурье-спектрометра с импульсным соплом получены вращательные спектры комплексов CH₃OH—NH₃ и ¹³CH₃OH—NH₃. Наблюдавшиеся линии отнесены к 5 состояниям, 4 из которых метастабильны. Для 2 состояний комплекса, соответствующих основному вращательному состоянию волчка NH₃, наблюдались прогрессии $\Delta J=1$, $K=0$. В результате проведенного вращательного анализа определены эффективные спектроскопич. постоянные, структурные параметры и дипольные моменты комплексов. Сделан вывод, что комплексы образованы водородной связью OH...N, длина которой равна 2,02 Å. Выполнены также неэмпирич. ССП расчеты для оценки энергии стабилизации комплексов и объяснения происхождения их дипольных моментов.

В. А. Морозов

ll.1.

о. 1989, № 2

CH₃OH-NH₃

(от 30564)

1988

-3 Б1400.. Микроволновый спектр комплекса CH₃-OH-NH₃. Microwave spectrum of the CH₃OH-NH₃ complex / Fraser G. T., Suenram R. D., Lovas F. J., Stevens W. J. // Chem. Phys.— 1988.— 125, № 1.— С. 31—43.— Англ.

M.N.

На микроволновом (МВ) фурье-спектрометре с импульсным соплом в обл. частот 7—23 ГГц с точностью около 10 кГц измерены вращат. спектры двух изотопич. образцов комплекса с Н-связью, ¹²CH₃OR-NH₃ (I) и ¹²CH₃OH-NH₃ (II), в основном колебат. состоянии. Анализ МВ-спектров выполнен в приближении модели вытянутого волчка с учетом квартичного центробежного искажения, ¹⁴N-ядерного квадрупольного взаимодействия и внутреннего вращения CH₃ и NH₃ групп. Для I и II, соотв., определены вращат. постоянные в двух состояниях внутреннего вращения, в состояниях $a(B+C)/2 = 3690,119$ (2) и 3622,773 (3) МГц и в.

X. 1989, № 3

состояниях $\beta(B+C)/2 = 3686,114(2)$ и $3618,950(5)$ МГц.
Дипольные моменты I в состояниях α и β , соотв., равны $\mu = 2,854(9)$ и $2,956(14) D$. При ряде допущений определена линейная структура комплекса с H-связью почти коллинеарной с осью симметрии NH_3 . Структурные данные согласуются с результатами расчетов в приближении ССП. С. Н. Мурзин



$\text{CH}_3\text{OH}-\text{NH}_3$

IM. 30564

1988

109: 179451s Microwave spectrum of the methanol-ammonia complex. Fraser, G. T.; Suenram, R. D.; Lovas, F. J.; Stevens, J. (Mol. Spectrosc. Div., Natl. Bur. Stand., Gaithersburg, MD 20892 USA). *Chem. Phys.* 1988, 125(1), 31-43 (Eng). Microwave spectra of MeOH-NH_3 and $^{13}\text{CH}_3\text{OH-NH}_3$ were obtained using a pulsed-noise Fourier-transform microwave spectrometer. The spectra, which are complicated by the internal rotation of the Me and NH_3 group, exhibit $K = 0$ states at the ~ 1 K rotational temp. of the expansion. Four of these are metastable, excited internal rotor states that correlate to E states of free MeOH or NH_3 . For the 2 states in which the NH_3 top is in its ground internal rotor state, $\Delta J = 1$, $K = 0$ progressions are obsd. and fit to linear-mol.-type frequency expressions to obtain effective spectroscopic consts. For MeOH-NH_3 these consts. are: $(B + C)/2 = 3690.119(2)$ and $3686.114(2)$ MHz; $c_0 = -3.184(10)$ and $-3.182(9)$ MHz; and $\mu_a = 2.854(9)$ and $2.956(14)$ D. The complexes are H bonded with an OH—N bond length of 2.0 ± 0.1 Å. This bond length is similar to that found by P. Herbine and T. Dyke (1981) in the related HOH-NH_3 complex, 1.97 Å. Ab initio SCF calcns. were carried out for the MeOH-NH_3 and HOH-NH_3 complexes in order to compare interaction-energy components and origins of the dipole moment enhancements.

(M8 CNRMP)

C.A. 1988, 109, N 20

CO...HCN

от 31.2.89

1988

6 Д47. Координаты типа r_s в слабосвязанных димерах. Применение к линейным димерам $B \dots HCN$, где $B = CO, N_2$ и HCN . r_s -Type coordinates in weakly-bound dimers: application to linear dimers $B \dots HCN$, where $B = CO, N_2$, and HCN / Haynes A., Legon A. C. // J. Mol. Struct. — 1988. — 189, № 1/2. — С. 153—164. — Англ.

Проанализирована взаимосвязь между геометрической конфигурацией димера с относительно слабым взаимодействием фрагментов и измеряемыми моментами инерции для разных изотопомеров этого димера. В рамках модели, учитывающей вращательные нулевые осцилляции фрагментов, получены выражения для расстояний z_i центров круговых движений ядер от центра масс димера. На основании эксперим. данных найдены величины z_i для тяжелых атомов димеров $B \dots HCN$, $B = CO, N_2, HCN$ и соответствующие им межъядерные расстояния в пределах одного фрагмента. Результаты сопоставлены со значениями, полученными без использования изотопного замещения.

А. В. Зайцевский

$N_{2\text{III}} HCN, HCN_{\text{II}}, HCN$

ф. 1989, № 6

C-W-H-O

1988

Исаев П. П., Исаева Г. А.

Энталпии образования метилнитрозамещенных бензола

// Журн. физ. химии. — 1988. — Т. 62, вып. 2. — С. 538—541.

Библиогр. : 10 назв.

— — 1. Нитробензол, замещенные — Энталпия образо-
вания.

№ 76894

18 № 4042

НПО ВКП 21.07.88

УДК 541.11+541.66

ЕКЛ 17.8

CH_2NO_2

lom. 30490/

1988

Jacob M.E.,

Ti, Pi; J. Phys. and Chem. Ref.
Data, 1988, 17, N2, 485.

C₆H₅NO

1988

23 Б1281. ¹⁴N-квадрупольное взаимодействие во вращательном спектре нитрозобензола. ¹⁴N quadrupole coupling in the rotational spectrum of nitrosobenzene. Keusseyan Ch., Andressen U., Dreizler H. «Z. Naturforsch.», 1988, A43, № 4, 385—387 (англ.)

На микроволновом (МВ) фурье-спектрометре с волноводной ячейкой в обл. частот 5—18 ГГц с точностью выше 5 кГц измерен вращат. спектр нитрозобензола, C₆H₅NO, в основном колебат. состоянии. Анализ МВ-спектра выполнен с использованием гамильтониана Уотсона в S-редукции с учетом квартичного центробежного искажения и ¹⁴N-ядерного квадрупольного взаимодействия. Определены вращат. постоянные (в МГц) A=5249,143(74), B=1643,273(4), C= =1251,976(3) и постоянные квадрупольного взаимодействия (в МГц) χ_{aa}=0,042(8), χ_{bb}=-5,028(9), χ_{cc}=4,986(9). Полученные МВ-данные уточнили ранее выполненные измерения методом МВ-фурье-спектроскопии в области частот 8—12 ГГц (Fliege E. et al., «Z. Naturforsch.», 1981, 36a, 1122). С. Н. Мурзин

мн.

Х. 1988, N 23

C-N-H-O *сограничение*

1988

22 Б3099. Стандартные теплоты сгорания и энталпии образования этилендиаминиянтарной и β -оксиэтилиминодиуксусной кислот. Конышев С. Б., Бородин В. А. «12 Всес. конф. по хим. термодинам. и калориметрии. Тез. стенд. докл., Горький, 13—15 сент., 1988. Ч. 1». Горький, 1988, 86

В калориметре с изотермич. оболочкой измерены теплоты сгорания этилендиаминиянтарной (I) и β -оксиэтилиминодиуксусной (II) к-т. Получены $-\Delta_c H(s, 298,15 \text{ K}) = 4273,5 \pm 3,8$ и $2799,1 \pm 2,3$ кДж/моль; $-\Delta_f H^0(s, 298,15 \text{ K}) = 1948,3 \pm 3,8$ и $1134,0 \pm 2,3$ кДж/моль соотв. для I и II.

А. С. Гузей

X.1988, N 22

1988

$\text{H}_2\text{NCONHNCO}_2$

23 Б3027. Термодинамические свойства биурета в различных агрегатных состояниях. Козыро А. А., Френкель М. Л., Красулин А. П., Симирский В. В., Кабо Г. Я. «Ж. физ. химии», 1988, 62, № 7, 1752—1756

Методом бомбовой калориметрии определены энталпии сгорания и образования крист. биурета (I). Теплоемкость C_p I измерена в интервале т-р 240—450 К. На основании полученных и лит. низкот-рных данных рассчитаны термодинамич. ф-ции I (сг) в интервале 0—450 К, станд. значения к-рых при 298,15 К составили C_p 131,3 Дж/моль·К, $H_T - H_0^\circ$ 21677 Дж/моль, $S_T - S_0^\circ$ 146,1 Дж/моль·К, $(H_T - H_0^\circ)/T$ 72,71 и $G_T - H_0^\circ/T$ 73,35 Дж/моль·К. Обнаружена аномалия C_p при т-рах вблизи 372 К и оценены термодинамич. х-ки соотв-щего фазового превращения $\Delta_{trs}H = 0,97 \pm 0,05$ кдж/моль и $\Delta_{trs}S = 2,54 \pm 13$ Дж/моль·К. Интер-

$f, \Delta H_f, \Delta H_{f2},$

$P, \Delta H_g;$

DH

X. 1988, N 23

$\text{H}_2\text{NCONHNCO}_2(2)$
($C_V, H_T - H_0^\circ/T, S_T$) m.p.

гральным эффиузионным методом Кнудсена измерено давл. насыщ. пара I при т-рах 400—430 К и рассчитаны $\Delta_{\text{sub}}H$ $128,6 \pm 6,4$ и $126,7 \pm 1,9$ кДж/моль (для двух серий измерений), $\Delta_{\text{sub}}S$ $316,70 \pm 4,84$ Дж/моль·К. В результате проведенных спектральных исследований выполнено отнесение фундаментальных частот транс- и цис-изомеров I и методами статистич. термодинамики рассчитаны C_p , $H_t = H_0^\circ/T$ и S_t° для состояния ид. газа, равные при 298,15 К для цис-I 118,58; 73,85 и 345,81 Дж/моль·К, транс-I 118,56) 73,44 и 350,43; при 400 К для цис-I 141,95; 88,44 и 384,18; для транс-I 143,39; 88,19 и 388,86.

А. Л. М.



$\text{NH}_4\text{HCO}_3 \cdot 0,5\text{H}_2\text{O}$

1988

24 Б3108. Индуцированная давлением несоразмерная фаза в полугидрате кислого оксалата аммония.
A pressure-induced incommensurate phase in ammonium hydrogen oxalate hemihydrate. Krauzman M., Godet J. L., Pick R. M., Pôulet H., Tougru N., Bosio L., Debeau M., Launois P., Moussa F. «Europ. Phys. Lett.», 1988, 6, № 1, 37—42 (англ.)

П.С.

Установлено существование в кристаллах полугидрата кислого оксалата аммония (I) новой несоразмерной фазы, существующей только выше крит. давл. и имеющей нескомпенсированной волновой вектор, параллельный вектору c^* обр. решетки. Новая фаза существует в широких пределах, изменяясь от 0,147 c^* при 4,3 кбар до $\approx 0,25$ с при макс. исследованном

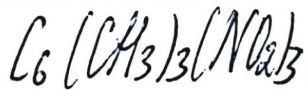


Х. 1988, № 24

давл.—8 кбар. Крист. I, т. обр., существует в виде трех фаз: I—при норм. условиях, II—при повышенных давл. и III—новая фаза при давл. выше 3 кбар и т-рах ниже 130 К. Фазовый переход II—III строго I-го рода, в то время как переход I—III—2-го рода в пределах точности измерений. Переход I—III промежут. типа.

В. Г. Юркин

1988



21 Б1175 Деп. Исследование строения молекулы
 тринитромезитилена, $C_6(CH_3)_3(NO_2)_3$, в газовой фазе
 электронографическим методом. Куликова Е. И.,
 Садова Н. И., Попик М. В., Иванов А. А., Беля-
 ков А. В., Бобылева М. В., Куликов Н. С., Вил-
 ков Л. В., Пятаков Н. Ф., Панкрушев Ю. А.; Ред. ж.
 «Вестн. МГУ. Химия» М., 1988. 16 с. ил. Библиогр.
 15 назв. Рус. (Рукопись деп. в ВИНИТИ 23.06.88,
 № 4941—B88)

Методом газовой электронографии определены
 структурные параметры молекулы $C_6(CH_3)_3(NO_2)_3$:
 $r_g(C\equiv C)=1,397(2)$, $r_g(C-N)=1,487(8)$, $r_g(N=$
 $=O)=1,221(2)$, $r_g(C_{\text{Ры}}-C_{\text{Ме}})=1,482(11)$, $r_g(C-H)=$
 $=1,102 \text{ \AA}$ (принято), $\langle CCNO \rangle = 123,5(0,8)^\circ$,
 $\langle CNO = 116,6(0,3)^\circ$, $\langle CCH = 109,5^\circ$ (принято). Отме-
 чено укорочение связи $C_{\text{Ры}}-C_{\text{Ме}}$ по сравнению с мо-
 лекулой $C_6H_3(CH_3)_3$. Конформация молекулы неплос-
 кая: угол поворота нитрогрупп вокруг связей $C-N$
 составляет $71,8(0,6)^\circ$; принято, что в метильных группах
 одна из связей $C-H$ перпендикулярна плоскости бензольного кольца.

Автореферат

д. 1988, 19, № 21



1988

Zier M. H., Hopkinson
A. C.

M. N. J. Org. Chem., 1988, 53,
N 10, 2150 - 2154.

(cet. HCH_2CO^+ ; III)

$\text{NH}_2\text{OCCH}_2^+$ (pm. 29867) 1988

Lien M.H., Hopkinson F.C.,

Meuren,
Raesjen
Empyren. J. Amer. Chem. Soc., 1988,
110, N 12, 3788-3792.

$H_2NCHO \cdot H_2O$ OM. 29352 1988

108: 103216c The microwave spectrum of formamide-water and formamide-methanol complexes. Lovas, F. J.; Suenram, R. D.; Fraser, G. T.; Gillies, C. W.; Zozom, J. (Mol. Spectrosc. Div., Natl. Bur. Stand., Gaithersburg, MD 20899 USA). *J. Chem. Phys.* 1988, 88(2), 722-9 (Eng). The microwave spectra of the $H_2NCHO \cdot H_2O$ and $H_2NCHO \cdot MeOH$ complexes were investigated with a pulsed beam Fabry-Perot cavity Fourier transform microwave spectrometer. The hyperfine structure due to the ^{14}N nuclear quadrupole interaction was used to assign the rotational transitions for both species. For $H_2NCHO \cdot H_2O$, the rotational anal. of 10 transitions provided the consts. (in MHz): $A = 11,227.931(1)$, $B = 4586.9628(10)$, $C = 3258.8278(7)$, $eQq_{aa} = 1.332(3)$, and $eQq_{bb} = 2.037(3)$. The $H_2NCHO \cdot MeOH$ spectrum exhibits an addnl. splitting from internal rotation of the Me group. Eighteen obsd. transitions from the A and i symmetry states were assigned and fitted with the rotational consts (in MHz): $A = 10186.594(6)$, $B = 2090.36(59)$, and $C = 1762.89(6)$ with hyperfine consts. close to those of $H_2NCHO \cdot H_2O$. By assuming a Me top moment of inertia $I_a = 3.206 \mu\text{A}^2$, the barrier to internal rotation $V_3 = 231.01(17) \text{ cm}^{-1}$ is obtained. This barrier height is ~36% smaller than that of MeOH. The structures detd. for these complexes agree with prior ab initio calcs. which indicate essentially planar, double H bonded structures for both species.

($H_2NCHO \cdot H_2O$)
(A, B, C)

C.A. 1988, 108, N12.



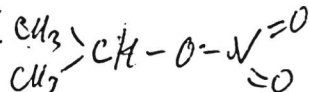
1988

Теплоемкость и стандартная энтропия изопропилнитрата
/Лушников В.Н., Рубцов Ю.И., Еременко Л.Т., Королев А.М.

// Журн. физ. химии. – 1988. – Т. 62, вып. 5. – С. 1209–1214.

Библиогр.: 17 назв.

— 1. Изопропилнитрат — Теплоемкость. 2. Изопропил-
нитрат — Энтропия.



№ 85136

УДК 541.113+547.260.2

18 № 4976

НПО ВКП 11.08.88

ЕКЛ 17.5

1988

 $C_6H_5OH-NH_3$

20 Б4476. Фотодиссоциация связанного водородной связью гетеродимерного иона $[C_6H_5OH-NH_3]^+$. Photodissociation of the hydrogen-bonded heterodimer ion $[C_6H_5OH-NH_3]^+$. Mikami N., Okabe A., Suzuki I. «J. Phys. Chem.», 1988, 92, № 7, 1858—1862 (англ.)

Изучена диссоциативная фотононизацией (ДФИ) связанного Н-связью комплекса $[C_6H_5OH-NH_3]$, полученного в сверхзвуковом молек. ~~лучке смеси~~ паров фенола с NH_3 в большом избытке He. ДФИ комплекса производили методом двухцветной многофотонной лазерной ионизации, что позволило исключить ионизацию др. компонентов молек. лучка. Первым лазером на красителе с удвоением частоты осуществляли возбуж-

(7)

Х. 1988, 19, № 20

дение перехода $S_1 \leftarrow S_0$ в комплексе, а вторым, перестраиваемым, лазером производили ионизацию с регистрацией получаемых ионов методом квадрупольной МС. Найдено, что адиабатич. Пт ионизации комплекса равен $62\ 200 \pm 100$ см $^{-1}$ ($\sim 7,71$ эВ). Показано, что осколочный ион $C_6H_5OH^+$ генерируется при превышении пороговой энергии 70 400 см $^{-1}$. Энергия диссоциации $[C_6H_5OH - NH_3]^+ \rightarrow C_6H_5OH^+ + NH_3$ найдена равной 8 200 ± 500 см $^{-1}$. Не обнаружено процесса ДФИ комплекса с образованием $C_6H_5O^+ + NH_4^+$ даже при превышении расчетной пороговой энергии этого процесса.

Б. Е. Скурат

N₃C(NH₂)₂ (Om. 32234) 1988

Murthy E.K., Rao G.R.,

and no cm. Indian J. Pure and
Appl. Phys., 1988,
26, 546-555.

1988



2 E746. Изучение структурного фазового перехода в $(CH_3)_2NH_2NO_3$ методами комбинационного рассеяния света и инфракрасной спектроскопии. Raman and infrared studies of structural phase transition in $(CH_3)_2NH_2NO_3$ / Mylrajan M., Srinivasan T. K. K. // J. Phys. and Chem. Solids. — 1988. — 49, № 8. — 929—937. — Англ.

В интервале T -р $90 \leq T \leq 350$ К изучены спектры КРС и ИК-спектры ($10—5000$ см $^{-1}$) диметиламмоний нитрата $(CH_3)_2NH_2NO_3$ и его *N*-дейтерированных аналогов. КРС изучались с помощью Аг-лазера (5145 Å; 200—300 мВт). Образцы для исследования ИК-спектров получены сублимацией на пластинах KRS-5 и полиэтилена. Идентифицировано большинство наблюдаемых полос. На основании анализа существенных изменений спектра либрационных и трансляционных колебаний катионных и анионных комплексов показано существование фазового перехода при $T_c = 297$ К, являющегося переходом типа смещения со значительной компонентой порядок—беспорядок. Ниже 254 К обнаружена мягкая мода ($18,5$ см $^{-1}$ при 140 К), частота которой не обращается в ноль при $T \rightarrow T_c$ вследствие ее связи с акустич. модой. Дейтерирование приводит к слабому

II-2

X. 1989, N. 3

понижению частот большинства линий в спектрах КРС
и ИКС. С. Л. Бравина

ан.
Би
чов?



1988

109: 241181j Raman and infrared studies of structural phase transition in dimethylammonium nitrate. Mylrajan, M.; Srinivasan, T. K. K. (Reg. Sophisticated Instrum. Cent., Indian Inst. Technol., Madras, 600 036 India). *J. Phys. Chem. Solids* 1988, 49(8), 929-37 (Eng). $Me_2NH_2NO_3$ belongs to the monoclinic space group $P2_1/m$ with $Z = 2$ at 295 K. Raman and IR spectra of $Me_2NH_2NO_3$ and of its ND_2 deriv. were investigated at 90-350 K. A systematic temp. dependent study of the frequencies and band widths showed the existence of a phase transition at 297 K. Assignments of most of the bands obsd. are proposed. The high temp. phase I is disordered in which both cations and anions exhibit reorientational motion and the transition to phase II is brought about by freezing out the disorder of both the cations and anions. A soft mode was identified in the low temp. phase.

(II_{tz})

C.A. 1988, 109, N 26

$(CH_3)_2NH_2NO_3$

$(CH_3)_2ND_2NO_3$

1988

3 Б3139. Исследования методами инфракрасной спектроскопии и комбинационного рассеяния структурного фазового перехода в $(CH_3)_2NH_2NO_3$. Raman and infrared studies of structural phase transition in $(CH_3)_2-NH_2NO_3$ / Mylrajan M., Srinivasan T. K. K. // J. Phys. and Chem. Solids.— 1988.— 49, № 8.— С. 929—937.— Англ.

Методами КР- и ИК-спектроскопии при 10—5000 см^{-1} и т-рах 90—350 К, и РСТА исследованы $(CH_3)_2NH_2NO_3$ и $(CH_3)_2ND_2NO_3$. При $T_c = 297$ К в обоих соединениях зафиксировано фазовый переход (ФП), проявляющийся в резком изменении частотных характеристик и ширины спектральных линий. Установлено, что ФП. в высокот-рную фазу I происходит в результате структурного разупорядочения при к-ром катионы и анионы совершают вращат. движенис. Мягкой модой

T_{c2}

Х. 1989, № 3

при обратном, сопровождающимся упорядочением, переходе является мода $18,5 \text{ см}^{-1}$ (140 K) в спектре КР. В интервале 155—254 K ее частота меняется по закону $W_2 = A(T_c - T)$, $A = 0,88 \text{ см}^{-2}\text{K}^{-1}$. Сделан вывод, что превращение частично относится к типу смещения, но с компонентами размерного разупорядочения.

В. Е. Смирнов

$(CH_3)_3NHNHO_3$

1988

1 E752. Исследование фазовых переходов в $(CH_3)_3NHNHO_3$ методами колебательной спектроскопии. Vibrational study of phase transitions in $(CH_3)_3NHNHO_3$ / Mylgajan M., Srinivasan T. K. K. // J. Chem. Phys.—1988.—89, № 3.—С. 1634—1641.—Англ.

Изучены спектры КРС и ИК-поглощения монокристаллических и поликристаллических образцов нитрата trimetilammonia (3MANO) в интервале температур 90—415 К, включающем два фазовых перехода. Проведено отнесение измеренных частот линий КРС и полос ИК-поглощения к внутренним колебательным модам. Изучены температурные зависимости частот, полуширин и интенсивностей ряда линий, показывающие наличие двух фазовых переходов при $T=359$ и 407 К. Оба фазовых перехода характеризуются температурным гистерезисом, что свойственно переходам I рода. Делается вывод, что высокотемпературные фазы характеризуются активацией переориентационных движений и при $T>407$ К молекулы $(CH_3)_3NHNHO_3$ испытывают переориентации вокруг всех трех осей инерции.

В. М. Б.

Пт2

φ. 1989, № 1

$(CH_3)_3NHNO_3$
 $(CH_3)_3NDNO_3$

1988

3 Б3140. Спектральные исследования фазовых превращений в $(CH_3)_3NHNO_3$. Vibrational study of phase transitions in $(CH_3)_3NHNO_3$ / Mylgajan M., Srinivasan T. K. K. // J. Chem. Phys.— 1988.— 89, № 3.— С. 1634—1641.— Англ.

Методами КР- и ИК-спектроскопии при 10—5000 см⁻¹ в интервале 90—415 К и РСТА исследованы монокрист. и поликрист. образцы $(CH_3)_3NHNO_3$ и $(CH_3)_3NDNO_3$. Обнаружены 2 фазовых превращения (ФП) I-го рода при 359 и 407 К в процессе нагрева, характеризующихся т-рым гистерезисом, равным, соотв., 14 и 20 К, и сопровождающихся резким изменением структуры. Показано наличие вращат. смещения групп NO_3^- , CH_3 , $(CH_3)_3NH^+$ и NC_3 в фазах II (359—407 К) и I (≥ 407 К). В фазе III большинство вырожденных мод группы NC_3 расщепляются. Исчезновение вырождения завершается при 90 К. В II и I вырождение восстанавливается. Дейтериование не влияет на особенности ФП.

В. Е. Смирнов

Х. 1989, № 3

GN-O-4

Om. 31402 | 1988

составил Remko M., Scheiner J.,

2001г.;
барбера
Биохим.
1988, 180, 175-188.

$(NCH_2)_2OH_2$ (Om. 28873) 1988

Rhee S-K, Karpfen A.,

Koolegom.

rekmp,
empyk-
myra,
ab initio
pacrem.

Chem. Phys., 1988,
120, N², 199-213.

$C_6H_5NO_2$

1988

Ritchie J.P.

Tetrahedron. 1988.

cl. n.

44, N 24, C. 7465 -
- 7478.

(cell. CH_3NO_2 ; $\frac{1}{11}$)

$C_2H_2N_2O_2$

(M 30791)

1988

109: 118489p Microwave spectra of furazan. I. The doubly determined substitution structure. Stiefvater, Otto L. (Adran Lemeg, Coleg Prifysgol Gogledd Cymru, Wales, UK LL57 2UW). Z. Naturforsch., A: Phys. Sci. 1988, 43(6), 597-606 (Eng). Double Resonance Modulation (DRM) microwave spectroscopy was used to det. the rotation consts. of isotopic forms of normal ($C_2H_2N_2O_2$) and perdeuterated furazan ($C_2D_2N_2O$). From these data, the complete substitution structures were derived by J. Kraitchman (1953) methods and by the computer program GEOM. The latter procedure fails to give correct results due to the decrease of the moment in inertia about the C_{2v} -axis and the simultaneous interchange of inertial axes in the $^{18}O-3,4-d_2$ -form. The bond lengths (in Å) and angles are best compatible with the total body of isotopic information. The uncertainties cover small differences between normal and D_2 -furazan as well as discrepancies resulting from different schemes of structure calcn.

(M 30)

c.a. 1988, 109, N 14

ИСДНН₂

1988

6 Б3165. Об энталпиях смешения в системе вода—формамид / Зайчиков А. М., Ноговицын Е. А., Железняк Н. И., Крестов Г. А. // Ж. физ. химии.— 1988.— 62, № 11.— С. 3118—3121.— Рус.

В калориметре с изотермич. оболочкой измерены $\Delta_{mix}H^\circ$ в системе вода—формамид при т-рах 288,15; 298,15; 308,15 и 318,15 К. Описана конструкция калориметра. Концентрац. зависимости $\Delta_{mix}H^\circ$ аппроксимированы ур-нием Редлиха—Кистера, коэф. к-рого приведены. Поскольку величины $\Delta_{mix}H^\circ$ при всех т-рах положительны и относительно невелики, предположено, что энергии н-связей в чист. компонентах близки по величине и при смешении заменяются более слабыми связями вода—формамид.

А. Л. М.

X. 1989, № 6

100. 33696

1989



(E)-CH₃CH=NO° Balakina N.Yu.,
Žuev M.B. et al.,

M.N. Croat. Chem. Acta, 1989,

62, N 4, 617 - 622

Unrestricted Hartree-Fock -

Roothaan Calculations of
geometrical parameters of
(Z)-CH₃CH=NO° and (E)-CH₃CH=NO°
Iminoxyl radicals.

$[CH_5NO]^+$ | Om. 32487] 1989

romers. burgers P. C.,
reflexe. Lifshitz Ch., et al.,
romers. Organic Mass Spectro
metry 1989, 24, N 8)
579 - 590

Azines

P-N-H-Oct 1989

111: 219685w Ionization energies of azines from Green's function method in semiempirical AM1 approximation. Danovich, D. K.; Zekrzewski, V. G.; Domrina, E. S. (Irkutsk Inst. Org. Chem., 664033 Irkutsk, USSR). THEOCHEM 1989, 57(1-2), 159-66 (Eng). The ionization energies of a no. of azines have been calcd. using the OVGF method in the semiempirical AM1 approxn. The SCF AM1 and MNDO calcns. fail to reproduce correctly the ordering of the ionization energies for the azines under consideration. The quant. agreement of the OVGF (AM1) values with the obsd. photoelectron spectra is at the same level as that of the OVGF ab initio calcn. with a polarized basis set. The computer time needed for the latter is 40-50 times that of the OVGF (AM1) calcn. For all the mols. under consideration the OVGF (AM1) method gives much better quant. agreement with expt. than does the semiempirical HAM/3 method. In the particular case of the pyridine mol., the OVGF (AM1) method reproduces correctly the degeneration of the two upper occupied n - and π -type levels, which is in contrast with the HAM/3 method.

g.

c.A.1989, 111, N 24



(Om. 31769)

1989

Dwivedi A.M.,
Krimm S., et al.,

ν_i, cm^{-1}

and ν_{rocm} . Spectrochim. acta
A 1989, 45, N $\ddot{\alpha}$, 271-279.

C-N-O-H (Om 32888)

1989

coauthor.

ab initio Fitzpatrick N.Y.,
paerum Mageswaran R.,

Polyhedron 1989, 8,

N18, 2255-2263.

Theoretical study of hydro-

Carboxylic acids

OCO-HCN

от 32416

1989

2 Б1300. Вращательный спектр и структура линейного димера CO₂-HCN: зависимость образования изомеров от газа-носителя. Rotational spectrum and structure of the linear CO₂-HCN dimer: Dependence of isomer formation on carrier gas / Klots T. D., Ruoff R. S., Gutowsky H. S. // J. Chem. Phys.— 1989.— 90, № 8.— С. 4216—4221.— Англ.

На микроволновом (МВ) фурье-спектрометре с импульсным соплом в обл. частот 4,0—8,5 ГГц с точностью ~1 кГц измерены вращат. спектры 7 изотопич. образцов линейного димера, OCO-HCN (I), ¹⁸OCO-HCN, O¹³CO-HCN, OC¹⁸O-HCN, OCO-DCN, OCO-H¹³CN, OCO-HC¹⁵N, в основном колебат. состоянии. Анализ МВ-спектров выполнен в приближении модели линейной молекулы с учетом квартичного центробежного искажения и ¹⁴N-ядерного квадрупольного взаимодействия. Для I определены вращат. постоянная $B_0 = 1057,9397(2)$ МГц, центробежная постоянная $D_j = 1,372(8)$ кГц и постоянная квадрупольного взаимодей-

м.

Х. 1990, № .

ствия $\chi = -4,2466(5)$ МГц. Вычислены структурные параметры и Пт взаимодействия между двумя мономерами в димере. Относит. конц-ия линейного и *T*-образного изомеров обнаружила очень сильно зависимость от используемого в сверхзвуковой струе газа-носителя.

С. Н. Мурзин

ФИ
nelii

OCO-HCN

ОМ 32416

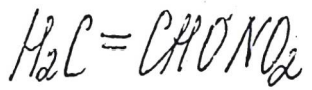
1989

12 Л156. Вращательный спектр и структура линейного CO₂-HCN димера: зависимость конфигурации изомера от газа-носителя. Rotational spectrum and structure of the linear CO₂-HCN dimer: dependence of isomer formation on carrier gas / Klots T. D., Ruoff R. S., Gutowsky H. S. // J. Chem. Phys.— 1989.— 90, № 8.— С. 4216—4221.— Англ.

На импульсном микроволн. фурье-спектрометре изучены вращательные спектры линейного димера с водородной связью OCO-HCN и его шести моноизотопич. замещенных. Для норм. изотопа получены значения вращательных констант $B_0 = 1057,9397(2)$ МГц, $D_1 = 1,372(8)$ кГц и $\chi_{aa}^{14}\text{N} = -4,2466(5)$ МГц. Амплитуда торсионного движения мономеров OCO и HCN относительно их центров масс составляет 7,66° и 12,40° соответственно, расстояние между центрами масс $R = 5,035$ Å. Наблюдалась сильная зависимость относит. конц-ий линейного и T -формы изомеров от используемого газа-носителя в сверхзвуковой струе. Линейная форма не зарегистрирована в аргоне, но давала сильный сигнал в неоне. T -форма присутствовала в обоих газах.

Б. С. Д.

11
φ. 1989, N 12



1989

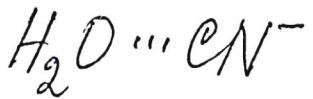
Kraeze H, et al.,

High Resolution Microwave
CW Spectroscopy of Imines
and Nitrates in External
Magnetic Fields.



F8

Eleventh Colloquium on
High Resolution Molecular
Spectroscopy, Giessen,
September 18-22, 1989,
A1, F8.



1989

Lee Timothy J.

ab initio
pacem
kouneek.

J. Am. Chem. Soc. 1989,
111 (19), 7362-71.

(C_{60} , FH $\cdots \text{CN}^-$; ii)

димер

1989

(CO₂, HCN)

19 Б1202. Применение метода пульсирующего сверхзвукового потока и диоднолазерной ИК-спектроскопии для изучения $v=1\leftarrow 0$ перехода CO₂ асимметричного валентного колебания в димере (CO₂, HCN). Pulsed-jet, diode-laser ir spectroscopy of the $v=1\leftarrow 0$ transition in the CO₂ asymmetric stretching mode of (CO₂, HCN) / Legon A. C., Suckley A. P. // Chem. Phys. Lett.— 1989.— 157, № 1—2.— С. 5—10.— Англ.

В области 2350 см⁻¹ на ИК-спектрометре с диодно-лазерным источником излучения измерены спектры димера (CO₂, HCN) (I) в пульсирующем сверхзвуковом потоке. Наблюдался переход $v=1\leftarrow 0$ видоизмененного ν_3 асимм. вал. кол. CO₂ в I. Сделано отнесение полос. Вращат. константы A_1 , B_1 , C_c (МГц) для основного $v=0$ и возбужденного $v=1$ состояний, соотв., равны 11 824, 2226,549; 1861,564 и 11 727,35; 2226,38; 1858,67. Спектральные константы Δ_I , Δ_{JK} ,

(д.н.)

X. 1989, N 19

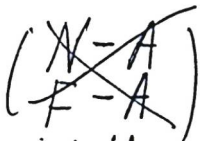
δ_I , δ_K (кГц), соотв., — 6,97; 292,2; 1,28; 243. Дефекты момента инерции для $v=0$ и $v=1$ положительны, что типично для слабо связанного димера с плоской равновесной конфигурацией. Сдвиг полосы v_3 после образования димера небольшой $0,99034 \text{ см}^{-1}$. Возбуждение v_3 асимм. вал. кол. CO_2 в I незначительно искажает геометрич. параметры I. Н. Л. Арютина



$\text{HCN} \cdot \text{NgF}^+$

1989

A-81anop.2ay



$\Delta g H$

(f2)

C.A. 1989, 110,
N10

110: 82770c Properties of atoms in molecules: krypton and xenon and their bonds to nitrogen and fluorine in hydrogen cyanide complexes with noble gas fluorides, HCN-NgF^+ , NgF^+ and NgF_2 (Ng = noble gas). MacDougall, Preston J.; Schrobilgen, Gary J.; Bader, Richard F. W. (Dep. Chem., McMaster Univ., Hamilton, ON Can. L8S 4M1). *Inorg. Chem.* 1989, 28(4), 763-9 (Eng). This exptl. study of the properties of the bonds formed by N and F and a noble-gas atom, Kr or Xe, is complemented by a theor. investigation at the SCF level of the properties of mols. contg. such bonds and by the detn. of the properties of the atoms and bonds in these mols. by using the theory of atoms in mols. The ability of the NgF^+ ions to act as Lewis acids is related to the presence of holes in the valence shell charge concns. of the Kr and Xe atoms that expose their cores. The mechanism of formation of the Ng-N bonds in the adducts of NgF^+ with HCN is similar to the formation of a hydrogen bond: the mutual penetration of the outer diffuse nonbonded densities of the Ng and N atoms is facilitated by their dipolar and quadrupolar polarizations, which remove d. from along their axis of approach, to yield a final d. in the interat. surface that is only slightly greater than the sum of the unperturbed densities. The Ng-N interactions lie closer to the closed-shell limit than do the Ng-F bonds formed in the reaction of NgF^+ with F^- . The energies of formation of these adducts are dominated by the large stabilizations of the Ng atoms that result from the increase in the concn. of charge in their inner quantum shells.

1) AF^+

A - Franop. ray.

2) AF_2

BgH

$\text{CH}_3\text{NH}_3^+(\text{H}_2\text{O})_n$ (DM · 32843) 1989

(n = 0, 1, 2, 3, 4, 5, 6, 9, 10) Masamura M.,

anhydrous, Chem. Phys. Lett.,
ab initio
racem 1989, 162, N 4, 5,
329 - 335

The structure ● of CH_3NH_3^+ in

aqueous solution: an ab initio study.

$(CH_3)_2NCO NH_2$

1989

III: 14508p Vibrational spectra and normal vibrations of N,N-dimethylurea and three deuterated analogs. Mido, Yoshiyuki; Tanase, Kozo; Kido, Kenji (Fac. Sci., Kobe Univ., Kobe, Japan 657). *Spectrochim. Acta, Part A* 1989, 45A(4), 397-402 (Eng). The IR and Raman spectra of N,N-dimethylurea $(CH_3)_2NCONH_2$ and its 3 deuterated analogs $(CH_3)_2NCOND_2$, $(CD_3)_2NCONH_2$ and $(CD_3)_2NCOND_2$ in the cryst. state were recorded in the 4000-100 cm^{-1} region. The obhd. spectra were analyzed on the basis of spectral comparison with structurally related compds. and of normal coordinate calens., and vibrational assignments were made for the 4 species of dimethylurea. The mol. is suggested to be in a centrosym. dimer, different from a ribbon polymer of urea and some urea derivs.

(UK u CJP)

C.A. 1989, III, N2

1989

HCNO

H¹³CNO J. Preußer,

HC¹⁵NO Mikrowellen spektroskopie
auf einer an den quasilinearer
heckmull Krallsäure - Isotopomeren
HCNO, H¹³CNO und

H¹³C¹⁵NO (Diplomarbeit)
(Kanonike am 20.06.)

C-N-O-H complex

1989

III: 219683u Electronic structures of carboxylic acid amides.
Rosen, A. M.; Khiunenko, N. M.; Krupnov, B. V. (Mosk. Inst.
Tekhnol. Khim., Moscow, USSR). *Zh. Fiz. Khim.* 1989,
63(5), 1239-48 (Rus). The geometry, proton affinity, and electronic
structure are calcd. of $\text{RR}'\text{C}=\text{O}$ mols. (R, R' are H, CH_3 , NH_2 , and
 $\text{N}(\text{CH}_3)_2$) by MNDO and AM1 methods. Several model structures
are detd. by ab initio calens. The donor and coordinative capacity of
O atoms are discussed. The extractive properties of the mols.
studied are related to the proton affinity.

paecum
смзыкмын

C.A. 1989, 111, N 24

$(HCN)_2 - Cl_2$

(m. 32417) 1989

Ruoff R.S., Emilsson T.,
et al.,

Борисов
Орехов,
Спрыкчук

J. Chem. Phys., 1989,
90, N8, 4069-4078.

C₂H₅-OC¹⁴N

бт 33137 1989

14 Б1245. Микроволновый спектр этилцианата.
The microwave spectrum of ethyl cyanate / Sakaizumi T., Mure H., Ohashi O., Yamaghi I. // J. Mol. Spectrosc.— 1989.— 138, № 2.— С. 375—382.—
Англ.

И.Н.
На штарковском микроволновом (МВ) спектрометре в области частот 8—40 ГГц измерены вращат. спектры двух изотопомеров этилцианата, $C_2H_5-OC^{14}N$ (I) и $C_2H_5-OC^{15}N$ (II), в основном колебат. состоянии и I. в трех возбужденных колебат. состояниях. Для I и II, соотв., определены вращат. постоянные в основном состоянии в МГц $A=30055(94)$ и $29794(110)$, $B=2543,53(1)$ и $2474,87(1)$, $C=2419,67(1)$ и $2357,03(1)$ и дипольный момент $\mu=4,72(23) D$. Возбужденные колебат. состояния отнесены к C—O торсионным и CH₃ торсионному колебаниям с частотами 120(30), 250(40) и 300(50) см⁻¹ для состояний (1,0), (2,0) и (0,1), соотв. Из сравнения эксперим. данных с результатами модельных расчетов полученные МВ-данные отнесены к конформеру типа антипериплоского (транс)-этилцианата.

С. Н. Мурзин

X. 1990, N 14

CH₃NO₃ Lam. 33706] 1989

Spiemann J., Sut-
ter D.H.,

U.N. Z. Naturforsch. 1989,
44a, 10 87-1096

C_2H_5OCN

1989

112: 44547u The microwave spectrum of ethyl cyanate. Sakaizumi, Takeshi; Mure, Hiroki; Ohnishi, Osamu; Yamaguchi, Ichiro (Fac. Sci. Technol., Sophia Univ., Tokyo, Japan 102). *J. Mol. Spectrosc.* 1989, 138(2), 375-82 (Eng). The microwave spectra of EtOCN and its ^{15}N species generated by reacting EtOC(S)NH₂ with HgO were obsd. at 8-40 GHz. The rotational consts. for normal and ^{15}N species were detd. The dipole moments obtained for normal species are $\mu_a = 4.70 \pm 0.18$, $\mu_b = 0.38 \pm 0.15$, and $\mu_{total} = 4.72 \pm 0.33$ D. The obsd. reaction product was antiperiplanar (*trans*)-EtOCN.

112: 44547u
EtOCN
EtOCN + HgO
EtOCN + HgO
EtOCN + HgO
EtOCN + HgO

C.A. 1990, 112, N 6

(M. 32982)

1989



Vekem B.J. Van der
Meijerema and Maas R.,

J. Mol. Struct. (Theo-
chem), 1989, 200, 413-44

Vibrational and  Conformatio-

nal analysis of isopropyl nitrite.

CO_2 ... HCN

1990

23 Б1150. Инфракрасная спектроскопия и неэмпирическая теория структурных изомеров CO_2 —HCN. Infrared spectroscopy and ab initio theory of the structural isomers of CO_2 —MCN / Dayton D. C., Pedersen L. G., Miller R. E. // J. Chem. Phys.— 1990.— 93, № 7.— С. 4560—4570.— Англ.

Методом оптотермич. детектирования получены ИК-спектры, отвечающие внутримолек. валентным колебаниям (ВК) C—H линейного (I) и T-образного (II) изомеров комплекса CO_2 (III) с HCN (IV). Методом теории возмущений Мёллера—Плессета 2-го порядка в базисах 6-31ГФ**, 6-31+ГФ(2p, 2d) и D95** оптимизированы геометрии и рассчитаны гармонич. колебат. частоты и интенсивности ВК C—H I—IV. Помимо I и II, на потенциальной ПВ комплекса обнаружен еще один, менее стабильный изомер с параллельным расположением молекул мономеров. Общее согласие расчета с экспериментом весьма хорошее, хотя сдвиги частот при комплексообразовании и силовые постоянные межмолек. ВК чувствительны к выбору базисного набора.

В. Я. Беспалов

X. 1991, N 23

$\text{CO}_2 - \text{HCN}$

1990

113: 200429k Infrared spectroscopy and ab initio theory of the structural isomers of carbon dioxide-hydrogen cyanide. Dayton, D. C.; Pedersen, L. G.; Miller, R. E. (Dep. Chem., Univ. North Carolina, Chapel Hill, NC 27599 USA). *J. Chem. Phys.* 1990, 93(7), 4560-70 (Eng). IR spectra were obtained for the liner and T-shaped isomers of $\text{CO}_2\text{-HCN}$ using the optothermal detection method. These spectra correspond to the intramol. C-H stretching vibration in each isomer. The IR results are consistent with the structures detd. previously from microwave spectroscopy and provide addnl. data that is helpful in making meaningful comparisons with theory. Ab initio calens. were also carried out for this system using 3 different basis sets. The agreement between the exptl. and calcd. structures is good for all 3 basis sets, while the vibrational frequency shifts (scaled to the monomer) and the intramol. stretching force consts. are much more basis set dependent. Nevertheless, the overall agreement between expt. and ab initio theory is very good.

Copy KNEPA

ll:n

c.A.1990, 113, N22

$\text{CH}_3\text{CH}_2\text{ONO}_2$

1990

113: 122800h Far-infrared spectra and barriers to internal rotation of ethyl nitrate. Durig, J. R.; Lindsay, N. E. (Dep. Chem., Univ. South Carolina, Columbia, SC 29208 USA). *Spectrochim. Acta, Part A* 1990, 46A(7), 1125-35 (Eng). The far-IR spectra of gaseous and solid Et nitrate, $\text{CH}_3\text{CH}_2\text{ONO}_2$, was recorded from 500 to 50 cm^{-1} . The fundamental asyin. torsion of the trans conformer which has a heavy atom plane has been obsd. at 112.50 cm^{-1} with 2 excited states falling to lower frequencies, and the corresponding fundamental torsion of the gauche conformer was obsd. at 109.62 cm^{-1} with 2 excited states also falling to lower frequencies. The results of a variable temp. Raman study indicate that the trans conformer is more stable than the gauche conformer by $328 \pm 96 \text{ cm}^{-1}$ ($938 \pm 275 \text{ cal mol}^{-1}$). An asym. potential function governing the internal rotation about the CH_2O bond is reported which gives a trans to gauche barrier of $894 \pm 15 \text{ cm}^{-1}$ ($2.55 \pm 0.04 \text{ kcal mol}^{-1}$) and a gauche to gauche barrier of $3063 \pm 68 \text{ cm}^{-1}$ ($8.76 \pm 0.20 \text{ kcal mol}^{-1}$) with the trans conformer more stable by $22 \pm 148 \text{ cm}^{-1}$ ($0.63 \pm 0.42 \text{ kcal mol}^{-1}$). transitions arising from the sym. C_1I_3 and NO_2 torsions are obsd. for both conformers, from which the threefold and twofold periodic barriers to internal rotation were calcd. For the trans

Ik-cretro,

M.N.

C.A. 1990, 113, N14

conformer the values are 1002 cm^{-1} ($2.87\text{ kcal mol}^{-1}$) and $2355 \pm 145\text{ cm}^{-1}$ ($6.73 \pm 0.42\text{ kcal mol}^{-1}$) and for the gauche conformer they are 981 cm^{-1} ($2.81\text{ kcal mol}^{-1}$) and $2736 \pm 632\text{ cm}^{-1}$ ($7.82 \pm 1.81\text{ kcal mol}^{-1}$) for the CH_3 and NO_2 rotors, resp. These results are compared to the corresponding quantities for some similar mols.



HCN-(CO₂)₂

1990

113: 161399d Rotational spectrum and structure of the hydrogen cyanide-carbon dioxide (CO₂)₂ trimer. Gutowsky, H. S.; Chen, Jane; Hajduk, P. J.; Ruoff, R. S. (Noyes Chem. Lab., Univ. Illinois, Urbana, IL 61801 USA). *J. Phys. Chem.* 1990, 94(20), 7774-80 (Eng). Rotational spectra were obsd. and rotational consts. detd. for HCN-(CO₂)₂, H¹³CN-(CO₂)₂, HCl¹⁵N-(CO₂)₂, and HCN-¹³CO₂CO₂ by using the Fourier transform, Flygare/Balle Mark II microwave spectrometer with a pulsed nozzle. Less extensive observations were made of DCN-(CO₂)₂, HCN-(¹³CO₂)₂, and 2 ¹⁸O-substituted isotopic species. The rotational consts. found for the parent asym. top are 1852.844, 1446.159, and 981.48 MHz for A, B, and C and -0.1035, -0.0297, -0.0241, -0.0190, and -0.0066 MHz for τ_1 , τ_2 , τ_{ccc} , τ_{ccS} , and τ_{ccc} , resp. The isotopic substitution reveals a ground-state geometry with the C₂ symmetry of the slipped parallel (CO₂)₂ subunit and having the HCN along the C₂ axis, the N end closest to the (CO₂)₂. The C₂ symmetry was confirmed by the absence of eo and oe states, as predicted for 2-fold symmetry with only equiv. bonds off-axis. The 2 C's of the (CO₂)₂ lie in a plane R = 3.093 Å below the center of mass of the HCN. The C-C distance in this subunit is 3.522 Å, which is 0.077 Å shorter than reported for the free (CO₂)₂ dimer. An

fraction
creaking,

M.N.

C.A. 1990, 113, n 18

inertial anal. shows the individual CO₂'s to be counterrotated by $\gamma = 20.3^\circ$ out of the ac plane contg. the C's, the inner O's rotated away from the HCN. The OCC "slip" angle β is 60.8° in the (CO₂)₂. The torsional oscillations of the HCN are anisotropic, with an av. displacement of 12.4° , as detd. from isotopic substitution and the ¹⁴N hyperfine structure. Virtually all of the hyperfine components are doublets sep'd. by 10-200 kHz. The doubling was attributed to an inversion of the clusters by a 140° counterrotation of the CO₂'s. The inversion does not affect the dipole moment of the cluster, so the obsd. doubling is the difference in tunneling splittings of the rotational states for each transition.

HCONH_2

1990

Hildenbrandt P.,
Bufoi M., et al.,

In J. Phys. Chem. 1990, 94(6),
2274-9.

Ultraviolet resonance Raman
spectroscopy of formamide,
C.A. 1990, 112, N16, 148076f

C-N-H-O

1990

113: 179304d Enthalpies of combustion of phenazine N-oxide, phenazine, benzofuroxan, and benzofurazan; the dissociation enthalpies of the (N-O) bonds. Leitao, M. Luisa P.; Pilcher, G.; Acree, W. E., Jr.; Zvaigzne, Anita I.; Tucker, Sheryl A.; Ribeiro da Silva, Maria D. M. C. (Dep. Chem., Univ. Manchester, Manchester, UK M13 9PL). *J. Chem. Thermodyn.* 1990, 22(9), 923-8 (Eng). The std. ($p^{\circ} = 0.1$ MPa) molar enthalpies of combustion at 298.15 K were measured by static-bomb calorimetry and the std. molar enthalpies of sublimation at 298.15 K were measured by microcalorimetry for phenazine, benzofurazan, and their corresponding N-oxides. From the std. molar enthalpies of formation of the gaseous compds., the molar dissoci. enthalpies of the (N-O) bonds were derived.

(ΔH_f)

C.A. 1990, 113, #20

CH₂NNO₂

1990

7 Д167. Неэмпирическое изучение CH₂NNO₂ методом конфигурационного взаимодействия с набором исходных конфигураций. Отщепление HONO в сравнении с разрывом связи NN. Ab initio multireference configuration interaction study of CH₂NNO₂. HONO elimination vs NN bond fragmentation / Mowrey R. C., Page M., Adams G. F., Lengsfeld (III) H. H. // J. Chem. Phys.— 1990.— 93, № 3.— С. 1857—1864.— Англ.

С помощью метода МК ССП в варианте полного пространства активных орбиталей и метода КВ с набором исходных конфигураций, учитывавшим вклады конфигураций, одно- и двукратно возбужденных по отношению к исходным, изучена поверхность потенц. энергии (ППЭ) молекулы CH₂NNO₂. Рассмотрены 2 возможных механизма процесса термич. распада CH₂NNO₂: 1) молекулярной диссоциации (CH₂NNO₂→HONO+HCN) и 2) разрыва связи NN (CH₂NNO₂→CH₂N+NO₂). Найдено, что величина энергии активации (ЭА) для молекулярной диссоциации равна 31±4 ккал/моль, что не-

м.н.

φ. 1991, № 7

сколько ниже рассчитанной величины ЭА для разрыва связи NN, которая равна 35 ± 4 ккал/моль. Сделан вывод о предпочтительности механизма молекулярной диссоциации в процессе термич. распада CH_2NNO_2 . Отмечено, что этот вывод противоположен теоретич. предсказаниям, сделанным ранее другими исследователями, однако, он согласуется с последними экспериментами с молекулярными пучками.

А. И. К.

NNO-HCN

Om 34424/a"

1990

112: 207004f Rotational transition and quadrupole coupling measurements on the nitrous oxide-hydrogen cyanide (NNO-HCN) complex. Pauley, D. J.; Roehrig, M. A.; Kukolich, S. G. (Dep. Chem., Univ. Arizona, Tucson, AZ 85721 USA). *Chem. Phys. Lett.* 1990, 167(1-2), 57-61 (Eng). Seven *a*-dipole and 7 *b*-dipole transitions were measured for 1 isomer of the NNO-HCN complex using a pulsed-beam, Fourier transform microwave spectrometer. Rotational consts. (in MHz) $A + \Delta_K = 10326.3(4)$, $B = 2814.32(14)$, and $C = 2201.00(12)$ and distortion consts. $\Delta_J = 0.014(8)$ and $\Delta_{JK} = 0.14(6)$ were obtained by fitting the obsd. transition frequencies. A quadrupole coupling strength due to the N atom of HCN of $eQq_{aa} = 1.97 \pm 0.05$ MHz was obtained by fitting low-*J* transitions. Approx. structural parameters were obtained using moments of inertia and quadrupole coupling data.

JB CREECH,
GRAHAM
NCMO dt.

c.A.1990, 112, N22

NNO-HCN

1990

113 NNO-HCN

113: 200379u Microwave spectra and structures of the nitrous oxide-hydrogen cyanide (NNO-HCN, $^{15}\text{NNO}-\text{HCN}$, and NNO-DCN) complexes. Pauley, D. J.; Kuklich, S. G. (Dep. Chem., Univ. Arizona, Tucson, AZ 85721 USA). *J. Chem. Phys.* 1990, 93(6), 3881-6 (Eng). A total of 60 a - and b -dipole rotational transitions were measured in the 4-18 GHz range for the NNO-HCN, $^{15}\text{NNO}-\text{HCN}$, and NNO-DCN bimol. complexes using a pulsed-beam, Fourier transform microwave spectrometer. Spectroscopic consts. ($A-D_K$), B , C , D_J , D_{JK} , eQq_{aa} (N of HCN), and eQq_{bb} (N of HCN) were obtained by fitting the obsd. transition frequencies with a 1st-order quadrupole coupling interaction Hamiltonian. The structure of the complex appears to be planar with NNO and NCH nearly parallel. It can be described with the distance R_{cm} between the center-of-masses of the monomer subunits, the angle θ between HCN and R_{cm} , and the angle ϕ between N_2O and R_{cm} . A least-squares fit to the 9 rotational consts. to obtain the structure parameters R_{cm} , θ , and ϕ , produced 3 local min. for bent structures with std. deviations of <25 MHz. A Kraitchman anal. was used to det. magnitudes of principal axes coordinates for the N of HCN, and the terminal N of NNO. The

Franklin
Chemical

M.I. ⑦ 18

c.A. 1990, 113, N22

NNO-DCN

best nonlinear least-squares fit result (structure I, lowest std. deviation of the fit = 7.2 MHz) produced the best match to the coordinates from the Kraitchman anal. The spectroscopic consts. B , C , and eQq_{ss} were used in a 2nd structural anal. to det. values for R_{cm} , θ , and ϕ . These results were compared with the above coordinates. The best least-squares fit structure parameters for the vibrationally averaged structure are $R_{cm} = 3.253(4)$ Å, $\theta = 89.1(5.4)^\circ$, and $\phi = 76.4(0.4)^\circ$. Comparisons were made with other similar weakly bound complexes.

1990

NNO-HCN

15/NNO-HCN

Ф 18 Б1338. Микроволновые спектры и структуры комплексов NNO—HCN, ^{15}NNO —HCl и NNO—DCN. Microwave spectra and structures of the NNO—HCN, ^{15}NNO —HCN, and NNO—DCN complexes / Pauley D. J., Kukolich S. G. // J. Chem. Phys.— 1990.— 93, № 6.— С. 3881—3886.— Англ.

На микроволновом (МВ) фурье-спектрометре с импульсным соплом в области частот 4—18 ГГц с точностью около 3—10 кГц измерены вращат. спектры трех бимолек. комплексов NNO—HCN, ^{15}NNO —HCN и NNO—DCN в основном колебат. состоянии. Анализ МВ-спектров выполнен с использованием гамильтониана Уотсона в A-редукции с учетом квартичного центробежного искажения и ^{14}N -ядерного квадрупольного вз-вия. При ряде допущений определена замещенная структура комплекса в виде плоской конфигурации с почти параллельной ориентацией осей NNO и HCN с небольшим наклоном. Изогнутая структура комплексов подобна структурам вандерваальсовых комплексов NNO—HF, NNO—HCl и NNO—HBr.

С. Н. Мурзин

11.11.

X. 1991, N 18

$\text{OC}-(\text{HCN})_2$

$\text{H}_2\text{O}-(\text{HCN})_2$

III.

(1) 17

X. 1991, N 18

1990

Г 18 Б1336. Вращательные спектры и структура малых кластеров, содержащих димер HCN: X—(HCN)₂ с X=CO, N₂, NH₃ и H₂O. Rotational spectra and structures of small clusters containing the HCN dimer: X—(HCN)₂ with X=CO, N₂, NH₃, and H₂O / Russoff R. S., Emilsson T., Chuang C., Klots T. D., Gutowsky H. S. // J. Chem. Phys.— 1990.— 93, № 9.— С. 6363—6378.— Англ.

На микроволновом (МВ) фурье-спектрометре с импульсным соплом в области частот 3—15 ГГц измерены вращательные спектры тримеров $\text{OC}-(\text{HCN})_2$, $\text{N}_2-(\text{HCN})_2$, $\text{H}_3\text{N}-(\text{HCN})_2$ и $\text{H}_2\text{O}-(\text{HCN})_2$ в основном колебательном состоянии. При ряде допущений для всех тримеров определена замещенная структура. При этом по сравнению с соответствующими димерами в тримерах X—(HCN)₂, где X=OC, N₂, H₃N и H₂O, наблюдается сокращение длин связей $\Delta r_1(\text{X}-\text{HCN})=0,0684, 0,0563, 0,0838$ и $0,0741 \text{ \AA}$ и $\Delta r_2(\text{HCN}-\text{HCN})=0,0131, 0,0133, 0,0441$ и $0,0264 \text{ \AA}$, соответственно.

С. Н. Мурзин

$\text{H}_3\text{N}-\text{N}_2-(\text{HCN})_2$

$\text{CO}-(\text{HCN})_2$

1990

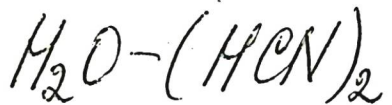
114: 32103z Rotational spectra and structures of small clusters containing the hydrogen cyanide dimer: $\text{X}-(\text{HCN})_2$ with X = carbon monoxide, molecular nitrogen, ammonia, and water. Ruoff, R. S.; Emilsson, T.; Chuang, C.; Klots, T. D.; Gutowsky, H. S. (Noyes Chem. Lab., Univ. Illinois, Urbana, IL 61801 USA). *J. Chem. Phys.* 1990, 93(9), 6363-70 (Eng). This work is the counterpart of a previous report on the $(\text{HCN})_2-\text{Y}$ trimers with Y = HF, HCl, HCF_3 , and CO_2 . Rotational spectra were obsd. for several isotopic species of the $\text{OC}-$, N_2- , $\text{H}_3\text{N}-$, and $\text{H}_2\text{O}-(\text{HCN})_2$ trimers, using a pulsed nozzle, Fourier transform Balle/Flygare microwave spectrometer. The structures are basically composites of those reported for the $(\text{HCN})_2$ and $\text{X}-\text{HCN}$ dimers. The trimers are effectively axially sym., but have some shrinkage of dimensions. Rotational consts. found for the main isotopic species of each trimer are: For $\text{X} = \text{OC}$, a B_0 of 421.142 MHz and D_J of 110 Hz; for $\text{X} = \text{N}_2$, 435.573 MHz and 155 Hz; for $\text{X} = \text{H}_3\text{N}$, a sym. top, a B_0 of 675.777 MHz, D_J of 180 Hz, and D_{JK} of 41.1 kHz; and for $\text{X} = \text{H}_2\text{O}$, with C_{2v} symmetry, a $(B_0 + C_0)/2$ of 667.028 MHz, $(B_J - C_J)/2$ of 0.617 MHz, D_J of 173 Hz, and a D_{JK} of 62.9 kHz. The rotational consts. for the isotopic species of each trimer were used to det. the distances r :

främling
10 cm.
Cryokrypa

73

c.a. 1991, 114, N4

r_2 between the centers of mass (c.m.) of adjacent monomers, r_1 being that for X-HCN and r_2 that for $(HCN)_2$. For X = OC, N₂, H₃N, and H₂O the shrinkages found in r_1 are 0.068, 0.056, 0.084, and 0.074 Å, resp., and in r_2 0.013, 0.013, 0.044, and 0.026 Å. The ¹⁴N quadrupole coupling consts. were detd. by selective ¹⁵N substitution for most of the nitrogen sites in the trimers. The effects of charge redistribution in the trimers were sep'd. from those of torsional oscillations in several instances including N₂ in N₂-(HCN)₂.



1990

Ruoff R.S.,
Emilsson T. et al.

spagau.
noem.,
leespykels.

J. Chem. Phys. 1990,
93 (9), 6363-70.

(Cer. $\text{CO}-(\text{HCN})_2$; III)

H_2NCHO Aihara Gen-Ichi. 1991

J.R.

J. Mol. Struct. Theochem.

1991. 228. C, 277-283.

(C₆H₅⁻; III)

H(OH)CN

1991

Chapman D. M.,
Carmichael Ian et al.

v. n. J. Phys. Chem. 1991, 95,
N. 12. C. 4702-4708.

(see H₂CN, ii)

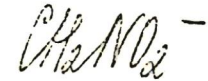
$\text{H}_2\text{NC}(=\text{O})\text{H}$

1991

116: 159317u A theoretical study of structure and intramolecular dynamics of N-nitrosamine. Khaikin, L. S.; Perevozchikov, V. I.; Boggs, J. E.; Vilkov, L. V. (Mosk. Gos. Univ., Moscow, USSR). *Vestn. Mosk. Univ., Ser. 2: Khim.* 1991, 32(5), 441-7 (Russ.). The structure, and rotational and inversion barriers are calcd. for $\text{H}_2\text{NN}=\text{O}$; H_2NNO_2 , and $\text{H}_2\text{NC}(=\text{O})\text{H}$ by using the GAUSSIAN-96 program and the MPZ method.

Упреждённо

C.A. 1992, 116, N 16



1991

— 20 Б1222. Исследование 2B_1 и 2A_2 состояний молекул CH_2NO_2 с помощью ультрафиолетовой фотоэлектронной спектроскопии анионов CH_2NO_2^- . Study of the 2B_1 and 2A_2 states of CH_2NO_2 via ultraviolet photoelectron spectroscopy of the CH_2NO_2^- anion / Metz R. B., Суг D. R., Neumark D. M. // J. Phys. Chem.— 1991.— 95, № 7.— С. 2900—2907.— Англ.

С использованием лазерного излучения с длинами волн 355 (I) и 266 (II) нм в кач-ве источников возбуждения исследованы фотоэлектронные спектры (ФЭС) анионов CH_2NO_2^- и CD_2NO_2^- . Проведен детальный анализ полученных спектров на основе данных неэмпирич. расчетов электронной и геометрич. структур CH_2NO_2^- и CH_2NO_2 . В ФЭС I идентифицированы компоненты колебат. структур полностью симм. v_3 и v_4 колебаний группы NO_2 (1292 ± 25 и $954 \pm 25 \text{ см}^{-1}$), а также крут. кол. Сродство к электрону

(+) (X)

x. 1991, n 20



для CH_2NO_2 и CD_2NO_2 оценено в $2,475 \pm 0,010$ и $2,480 \pm 0,010$ эВ, соотв. Найдено, что при переходе от CH_2NO_2 к CH_2NO_2^- величина торсионного барьера увеличивается от 1250 до 25 000 см⁻¹. Сделан вывод, что C—N связь является однократной в основном состоянии CH_2NO_2 и двойной — в анионе CH_2NO_2^- . В ФЭС II обнаружена особенность, к-рая отнесена к ранее не наблюдавшемуся возбужденному 2A_2 состоянию CH_2NO_2 , лежащему на 1,591 эВ выше основного состояния. Библ. 34.

О. А. Басченко



CH_2NO_2^-
 CD_2NO_2^-

1991

Chemphys
Ac., M.I.

114: 1523/1j Study of the $^2\text{B}_1$ and $^2\text{A}_2$ states of nitromethyl free radical via ultraviolet photoelectron spectroscopy of the nitromethyl(1-) anion. Metz, R. B.; Cyr, D. R.; Neumark, D. M. (Dep. Chem., Univ. California, Berkeley, CA 94720 USA). *J. Phys. Chem.* 1991, 95(7), 2360-7 (Eng). The photoelectron spectra of CH_2NO_2^- and CD_2NO_2^- at 355 and 266 nm were obtained. The 355-nm spectra show extended progressions in the NO_2 sym. stretch mode and the previously unobserved torsion mode. The exptl. results were analyzed with the aid of ab initio calcs. to det. the change in geometry upon detachment of CH_2NO_2^- . Anal. of the spectra yields an electron affinity of 2.475 ± 0.010 eV for CH_2NO_2^- and torsion barriers of 1250 cm^{-1} in CH_2NO_2 and $25,000 \text{ cm}^{-1}$ in CH_2NO_2^- . This supports M. E. Jacob's conclusion that the ground state of CH_2NO_2 has a C-N single bond and indicates a C-N double bond in the anion. The 266-nm photoelectron spectrum of CH_2NO_2^- was obtained and reveals the previously unobserved $^2\text{A}_2$ electronic state of CH_2NO_2 . This state lies 1.591 eV above the ground state and has a geometry similar to that for the anion.

c.A.1991, 114, N16

HC(O)NCO Nguyen Minh Tho,
Majnali M.R., et al.,
1991

empykmyna, THEOCREM 1991, 77,
pacrem.
185-93.

(cu. ● CEC(O)NCO; II)

CH_3ONHCHO

1991

115: 145269x Microwave spectrum and molecular structure of N-methoxyformamide. Styger, C.; Caminati, W.; Ha, T. K.; Bauder, A. (Lab. Phys. Chem., Eidg. Tech. Hochsch., CH-8092 Zurich, Switz.). *J. Mol. Spectrosc.* 1991, 148(2), 494-505 (Eng). The microwave spectra of *N*-methoxyformamide (CH_3ONHCHO) and 3 of its deuterated species were investigated in the 12-55 GHz range. Rotational transitions of an extended conformer were assigned in which all the heavy nuclei except for the carbon of the Me group lie in or near a plane. The normal isotopic species is accidentally an almost prolate sym. top with an asymmetry parameter of -0.998. The deuterated species are less sym. The permanent elec. dipole moment was detd. from quant. Stark measurements. No hyperfine structure of the rotational transitions due to the ^{14}N nuclear quadrupole moment were resolved. Several vibrational satellites belonging to low-frequency torsional motions were measured but no splittings due to the internal rotation of the Me group were obsd. suggesting a high V_3 barrier. A plausible structure of N-methoxyformamide was deduced from the combined data of moments of inertia and of ab initio calcns.

No C2H3O,
C2H5O2P
M.H.

C.A. 1991, 115, N14

NNO-HCN

1992

198967w The nitrous oxide-hydrogen cyanide (NNO-HCN) complex. Ab initio calculations with the coupled-cluster method and first-order correlation orbitals. Adamowicz, Ludwik (Dep. Chem., Univ. Arizona, Tucson, AZ 85721 USA). *Chem. Phys.* 165(2-3), 281-6 (Eng). Four equil. conformers are identified for the NNO-HCN complex. Coupled cluster calcns. with the first order correlation orbitals indicate that the oxygen-hydrogen-bonded linear structure has the lowest energy, by 0.26 kcal/mol lower, than the comput. characterized "slipped parallel" structure. The result lends support to suggestions that there should be at least two stable conformers of NNO-HCN in the gas phase.

ab initio
(racem)

C.A.1992, 117, N 20

Мемуары о химии

1992

120: 147432x High resolution infrared spectroscopy of the ν_1 , ν_2 , and ν_4 fundamental bands of methylisocyanide. Bernheim, R. A.; He, Chun; Faust, C. M.; Elshakre, M.; Gold, L. P. (Dep. Chem., Penn State Univ., University Park, PA 16802 USA). Proc. SPIE-Int. Soc. Opt. Eng. 1992, 1711(High-Performance Optical Spectrometry), 27-8 (Eng). The high-resoln. IR band spectra of the ν_1 , ν_2 , and ν_4 fundamentals of methylisocyanide have been measured with an interferometric spectrometer at an unapodized resoln. of 0.004 cm⁻¹. The spectra, yielding fully J and K-resolved transitions, are analyzed and fit to spectroscopic consts. In each case some of the major perturbations were identified.

(Di, UK)

C.A. 1994, 120, N 12

1992

№ 6 Д81. Структурные исследования двух изомерных форм N_2O-HCN . Structural determinations for two isomeric forms of N_2O-HCN / Dayton D. C., Pedersen L. B., Miller R. E. // J. Phys. Chem.— 1992.— 96, № 3.— С. 1087—1095.— Англ.

Для идентификации двух изомерных форм бинарного комплекса N_2O-HCN проведены исследования методом ИК-спектроскопии высокого разрешения на молекулярных пучках. Показано, что более распространенный изомер имеет две мономерные группы, параллельные друг другу. Менее распространенный изомер, предположительно имеющий более высокую энергию, является линейным, причем мономерная группа HCN действует в нем как кислота. Проведены неэмпирические расчеты комплекса с использованием программы Гауссиан-88 в различных базисах. Найдено количественное согласие неэмпирических и экспериментальных данных для вращательных постоянных, колебательных частот и относительных стабильностей двух исследованных изомеров.

ф. 1992, № 6

$H_2O \cdot HCN$

1992

116: 244165n Structure and dynamics of the water-hydrogen cyanide ($H_2O\text{-HCN}$) dimer. Gutowsky, H. S.; Germann, T. C.; Augspurger, J. D.; Dykstra, C. E. (Noyes Chem. Lab., Univ. Illinois, Urbana, IL 61801 USA). *J. Chem. Phys.* 1992, 96(8), 5808-16 (Eng). This report extends an earlier microwave study of the $H_2O\text{-HCN}$ weakly bonded dimer by A. C. Legon (1984). The H-H(H_2O) hyperfine structure (hfs) in rotational transitions of $H_2O\text{-HC}^{13}N$ and the ^{17}O hfs in $H_2^{17}O\text{-HC}^{13}N$ was resolved using a modified Balle/Flygare Fourier transform microwave spectrometer with a pulsed supersonic nozzle as the sample source. Also, the rotational consts. of $H_2O\text{-H}^{13}CN$ were detd. The hfs, particularly that of ^{17}O , and a substitution anal., are used to clarify the dynamics of the dimer. The analyses support a pseudoplanar, $H_2O\text{-HCN}$, C_{2v} structure in which the H_2O and HCN experience in-plane and out-of-plane bending vibrations of modest on av. amplitude. The out-of-plane H_2O bend is 20° and the in-plane is perhaps half that. The bending of the HCN is isotropic, with an amplitude of 9.4° in both directions. The mol. mechanics for clusters (MMC) model was used to explore the potential energy surfaces (PES) for the

(14b encryp)

C.A. 1992, 116, N 24

weak-bonding coordinates. The calcd. equil. structure differs greatly from the exptl., with the H₂O rotated out of plane by 60° in one direction and the HCN by 20° in the other (*cis*). The difference is shown by the ¹⁵O hfs and its dependence upon the H₂O bending to be caused by the zero-point vibrational averaging of the structure, which extends over the shallow sym. double min. in the PES. The interaction energy is large (-1590 cm⁻¹), but the PES is relatively flat in the bending coordinates over large regions between the equil. min., making the vibrational avs. differ substantially from the equil. values.

$H_2O \cdot NCCN$

1992

/ 116: 264631q The rotational spectrum, internal rotation, and structure of water-ethanenitrile and water- D_2 -ethanenitrile ($H_2O\text{-NCCN}$ and $D_2O\text{-NCCN}$). *See, Seongsoon; Suni, Ian I.; Klempner, William* (Dep. Chem., Harvard Univ., Cambridge, MA 02138 USA). *J. Chem. Phys.* 1992, 96(8), 5577-84 (Eng). The radio frequency and microwave spectra of $H_2O\text{-NCCN}$ and $D_2O\text{-NCCN}$ were measured using mol. beam elec. resonance spectroscopy. The spectrum is characteristics of a planar T-shaped asym. top in which the H_2O subunit exhibits hindered twofold internal rotation. The spectroscopic parameters for $H_2O\text{-NCCN}$ are $A = 4692.11(2)$ MHz, $A' = 4689.45(25)$ MHz, $B = 4258.06(1)$ MHz, $C = 2219.34(1)$ MHz, and $\mu_a = 2.06(3)$ D and for $D_2O\text{-NCCN}$ are $A = 4644.31(27)$ MHz, $B = 3822.76(10)$ MHz, $C = 2084.86(10)$ MHz, and $\mu_a = 2.1617(10)$ D. The H_2O subunit is bound to NCCN through the oxygen atom with a twofold barrier of $285(6)$ cm⁻¹ hindering the internal rotation of H_2O about the a axis of the complex.

Fraus. Chikyip
A, B, C, CMYK
 $\sqrt{v_0}$

c. A. 1992, 116, N26

HC:CNCO

1992

116: 161402m The microwave spectrum and semirigid bender analysis of isocyanatoethyne, HC:CNCO. Ross, Stephen C.; Cooper, Terry A.; Firth, Steven; Kroto, Harold W.; Walton, David R. M. (Dep. Phys., Univ. New Brunswick, Fredericton, NB Can. E3G 5A3). *J. Mol. Spectrosc.* 1992, 152(1), 152-67 (Eng). HC:CNCO was prepd. and its microwave spectrum recorded. The mol. behaves as a slightly asym. prolate rotor, the spectrum indicating deviations from linearity in the equil. structure. vibrationally excited states with ≤ 3 quanta of the CNC bending mode were obsd., allowing anal of the spectrum to be carried out using a semirigid bender model. The results of this anal. give the following structural parameters: $r(\text{C:C}) = 1.2237(20)$ Å, $r(\text{C-N}) = 1.3025(54)$ Å, $r(\text{N=C}) = 1.2139(40)$ Å, $r(\text{C=O}) = 1.1741(48)$ Å, $\angle(\text{CNC}) = 140.67(48)^\circ$ and, $\angle(\text{NCO}) = 170.02(93)^\circ$, with all other bond angles assumed to be 180° . The barrier to linearity was calcd. to be $537.2(5.4)$ cm $^{-1}$.

1/8 checkmp,
copy & negotiate
parameters.

C.A. 1992, 116, N 16

N₂O-HCN

1992

118: 220122m Nitrogen oxide (N₂O)-hydrogen cyanide and carbon monoxide-acetylene: two associating systems with remarkable low-temperature relative-stability interchanges. Slanina, Zdenek; Adamowicz, Ludwik (Dep. Chem., Univ. Arizona, Tucson, AZ 85721 USA). THEOCHEM 1992, 95, 133-40 (Eng). Relative stabilities of four and three min.-energy structures in the N₂O-HCN and CO-C₂H₂ systems, resp., were evaluated in terms of partition functions. Structural and vibrational parameters originated from the 2nd-order Moeller-Plesset perturbation treatment with the 6-31 + + G^{**} basis set. Relative energies were further refined within the coupled cluster method and 1st-order correlation orbitals. Three relative stability interchanges were revealed in each system. The lowest interchange points appear at temps. of 114 K and 13 K in the N₂O-HCN and CO-C₂H₂ systems, resp.

④

△

CO-C₂H₂

C.A. 1993, 118, N 22

13 Б1034. Структура ацетамида: плоская или не-
плоская? Structure of acetamide: planar or Nonplanar?
/ Wong Ming Wah, Wiberg Kenneth B. // J. Phys.
Chem.— 1992.— 96, № 2.— С. 668—671.— Англ.

Неэмпирическим методом ССП исследовано влияние размера базиса на результаты расчета геометрии ацетамида (I). Расчет в базисе 6—31 ГФ предсказывает для I плоскую геометрию. Включение поляризац. *s*-*p*-ц. на тяжелых атомах приводит к сильному иска-
жению конформации метильной и аминовой групп. Проанализировано изменение электронной заселенности на атомах при переходе от плоской к неплоской кон-
формации I. Относит. стабильность конформаций оце-
нена с учетом электронной корреляции по теории воз-
мущений МП2 КВОД для базиса 6—311++ГФ**. Ми-
нимуму полной энергии I отвечает неплоская структу-
ра с частично пирамидальной NH₂-группой, в к-рой
одна C—H связь перпендикулярна плоскости тяжелых
атомов. Энергетич. предпочтительность неплоской кон-
формации объяснена взаимодействием неподеленной
электронной пары атома N и одного из протонов
группы CH₃.

1992

М.Н.

Х. 1992, № 13

А. Н. Исаев

$\text{CH}_2(\text{NO}_2)_2$

1992

18 Б1022. Неэмпирический расчет потенциалов вращения и устойчивости молекулярных структур $\text{CX}_2(\text{NO}_2)_2$ ($X=\text{H}, \text{F}; \text{Cl}$) /Wu Nianci, Dong Nan, Cai Guoqiang, Yu Qingsen, Zong Hanxing //Ханчжоу дасюэ сюэбао. Цзыжань кэсюэбань =J. Hangzhou Univ. Natur. Sci. Ed .—1992.—19 ,№ 2 .—С. 172—178 .—Кит. ;рез. англ.

В базисе СТО-ЗГФ проведен неэмпирич. квантово-мех. расчет молекул $\text{CH}_2(\text{NO}_2)_2$ (I), $\text{CF}_2(\text{NO}_2)_2$ (II), $\text{CCl}_2(\text{NO}_2)_2$ (III). Рассчитаны хартри-фоковские энергии I—III как ф-ции двух углов вращения вокруг двух одинарных связей в молекулах I—III, оценены потенциалы заторможенного внутр. вращения, оптимизированы геометрич. параметры для 5 наиболее стабильных конформаций I—III.

Г. М. Курамшина

(72) 12

Х. 1993, N 18

$\text{CH}_2(\text{NO}_2)_2$

1992

118: 198665s Ab initio study of the rotational potential and stabilities of molecular structures of halonitromethanes $\text{CX}_2(\text{NO}_2)_2$ ($\text{X} = \text{H}, \text{F}, \text{Cl}$). Wu, Nianci; Dong, Nan; Cai, Guoqiang; Yu, Qingsen; Zhong, Hanxing (Dep. Chem., Hangzhou Univ., Hangzhou, Peop. Rep. China). *Hangzhou Daxue Xuebao, Ziran Kexueban* 1992, 19(2), 172-8 (Ch). The potential energy for internal mol. rotation and the stabilities and structures of $\text{CH}_2(\text{NO}_2)_2$, $\text{CF}_2(\text{NO}_2)_2$, and $\text{CCl}_2(\text{NO}_2)_2$ were studied by the ab initio method at the STO-3G level. The factors affecting on mol. structures were also analyzed.

NO methyls.

p-nitro;

meth. pattern

(+2)

$\text{CF}_2(\text{NO}_2)_2$

$\text{CCl}_2(\text{NO}_2)_2$

C. A. 1993, 118, N20

$\text{CO}_2 \cdot \text{HCN}$

1992

K. M. K. C.

MOP. PACEM

CMPKCM

CMABUNHKO AMI

117: 97639k Ab initio studies on the molecular complexes between carbon dioxide and hydrogen cyanide, ammonia or water. Xu, Sen; Fang, Decai; Fu, Xiaoyuan (Dep. Chem., Beijing Norm. Univ., Beijing, Peop. Rep. China 100875). *Gaodeng Xuexiao Huaxue Xuebao* 1992, 13(1), 78-80 (Ch). All of the geometries of the title complexes are optimized by the energy gradient technique based on ab initio SCF MO by using 3-21G basis. The results show that the mol. complexes $\text{CO}_2\text{-HCN}$, $\text{CO}_2\text{-NH}_3$, $\text{CO}_2\text{-H}_2\text{O}$ all have T-shaped equil. structures. The van der Waals' bond lengths of the three complexes are 0.2865, 0.2775 and 0.2543 nm, resp. The binding energies are 14.8, 27.0 and 31.2 kJ/mol, resp. The results of energy decompn. show that the interaction energy INT is mainly contributed by the electrostatic interaction ES and is slightly by the charge transfer energy CT.

(+2) ⑧



C.A. 1992, 117, N 10

CNCH₂OCH₃ (L,2)

1993

120: 203161x Raman and infrared spectra, conformational stability, barriers to internal rotation, ab initio calculations and vibrational assignment of cyanomethyl methyl ether. Durig, J. R.; Tang, Qun; Phan, H. V. (Dep. Chem., Univ. Missouri, Kansas City, MO 64110 USA). *J. Raman Spectrosc.* 1993, 24(12), 851-65 (Eng). The Raman spectra (3400-10 cm⁻¹) of gaseous, liq. and solid and the IR spectra (3500-35 cm⁻¹) of gaseous and solid cyanomethyl Me ether (methoxyacetonitrile), (CN)CH₂OCH₃, were recorded. The far-IR spectrum of the gas was recorded at a resoln. of 0.10 cm⁻¹ in the region from 370 to 30 cm⁻¹. The fundamental asym. torsions of the gauche and trans conformations were obstd. at 112.5 and 104.6 cm⁻¹, resp., the the gauche form having two excited-state transitions falling to lower wavenumber. From these data, along with the enthalpy difference and gauche dihedral angle, the asym. torsional potential function was calcd. with the following coeffs.: V₁ = 153 ± 9, V₂ = -619 ± 8, V₃ = 1000 ± 2 and V₄ = -100 ± 2 cm⁻¹. From this potential function, the trans to gauche, gauche to

CKP, Pi, atrans

V₀, d_{th}H

c.A. 1994, 120, N16

gauche and gauche to trans barriers were detd. as 512, 1592 and 951 cm⁻¹, resp., with an enthalpy difference of 439 ± 19 cm⁻¹ (1255 ± 54 cal mol⁻¹) and the gauche conformer the more stable form in the gas phase. The enthalpy difference was also detd. exptl. from variable-temp. studies of the Raman spectrum and a value of 337 ± 44 cm⁻¹ (964 ± 126 cal mol⁻¹) was obtained for the liq. with the gauche form more stable. Addnl., the sym. Mo torsions of both gauche and trans forms were obtd. at 170.4 and 217.6 cm⁻¹, resp. On the basis of a one-dimensional model, the barrier to internal rotation of the Me moiety was detd. as 839 cm⁻¹ (2.40 kcal mol⁻¹) for the gauche conformer and 947 cm⁻¹ (2.71 kcal mol⁻¹) for the trans form. A complete vibrational assignment is proposed for a gauche-trans equil. in the gas and liq. phases from the Raman (3200–10 cm⁻¹) and IR (3200–35 cm⁻¹) spectra, but in the solid state only the gauche conformer remains. The structural parameters, conformational stability, barriers to internal rotation and fundamental vibrational frequencies which were detd. exptl. were compared with those obtained from ab initio calcns. employing the RHF/4-31G*, RHF/6-31G* and MP2/6-31++G** basis sets. These results were compared with the corresponding quantities obtained for some similar mole.

$\text{CH}_3\text{C}(\text{O})\text{NCO}$ ($\omega_{\text{v}}, \text{k}$)

1993

119: 58617y Raman and infrared spectra, conformational stability, barriers to internal rotation and ab initio calculations of acetyl isocyanate. Durig, J. R.; Guirgis, G. A.; Krueger, K. A.; Sullivan, J. F. (Dep. Chem. Biochem., Univ. South Carolina, Columbia, SC 29208 USA). *J. Raman Spectrosc.* 1993, 24(5), 259-73 (Eng). The Raman (3100-10 cm^{-1}) and IR (3100-30 cm^{-1}) spectra of acetyl isocyanate, $\text{CH}_3\text{C}(\text{O})\text{NCO}$, and the d₃-isotopomer were recorded for the gases and solids. Addnl., the Raman spectra of the liqs. were recorded and qual. depolarization values were obtained. The obsd. bands are assigned on the basis of the more stable cis (syn) conformer (isocyanate group cis to the carbonyl bond) and less stable trans (anti) conformer in the vapor state. ΔH of the gas is estd. to be 433 cm^{-1} [1.24 kcal mol⁻¹ (1 kcal = 4.184 kJ)] from the relative intensity of the conformer pair at 80° and 763 cm^{-1} . From the temp. dependence of the Raman spectrum of the liq., two conformer pairs were used to det. exptl. a ΔH value of $370 \pm 60 \text{ cm}^{-1}$ ($1.06 \pm 0.17 \text{ kcal mol}^{-1}$) but now with the trans conformers the more stable form. In the annealed cryst. solid, only the trans conformer.

(C.R.P., UK, V₀,
D_i)

C.A. 1993, 119, N6

remains. The fundamental asym. torsion of the cis conformer was obsd. at 79 cm^{-1} with two excited states falling to lower frequency. Utilizing these data and ΔH for the gas the potential function governing the conformer interchange was estd. A complete vibrational assignment is proposed for both conformers based on IR band contours, Raman depolarization data, group frequencies and normal coordinate calcns. The exptl conformational stability, barriers to internal rotation and fundamental vibrational frequencies are compared with those obtained from ab initio Hartree-Fock gradient calcns. employing the RHF/6-31G* basis set and to the corresponding quantities obtained for some similar mols.

NH₄HCl₄H₄O₆

1993

119: 236792m FT-IR and Raman spectra of ammonium hydrogen tartrate and potassium hydrogen tartrate crystals. Kolandaivel, P.; Selvasekarapandian, S. (Dep. Phys., Bharathiar Univ., Coimbatore, India). *Cryst. Res. Technol.* 1993, 28(5), 665-70 (Engl). FT-IR and Raman spectra of ammonium hydrogen tartrate [NH₄HCl₄H₄O₆] and potassium hydrogen tartrate [KHC₄H₄O₆] have been measured. Vibrational assignments have been made for both the internal and external vibrations. Because of the free rotation of the NH₄⁺ ion, it forms only weak hydrogen bonds with the oxygen atom.

FT-IR u
C.R.T.

B KHCl₄H₄O₆
④

C.A. 1993, 119, N 22

$\text{H}_2\text{C:CHCH}_2\text{NCO}$

1993

118: 112098z Microwave spectrum of allyl isocyanate: gauche conformer. Maiti, S.; Jaman, A. I.; Nandi, R. N. (Saha Inst. Nucl. Phys., Calcutta, 700 064 India). *J. Mol. Spectrosc.* 1993, 158(1), 8-13 (Eng). The ground state microwave rotational spectrum of allyl isocyanate ($\text{H}_2\text{C:CHCH}_2\text{NCO}$) in the frequency range 12.4-26.0 GHz is reported. Anal. of a -type R -branch transitions gives the rotational consta. $A = 8019.78$ MHz, $B = 2088.85$ MHz, and $C = 1757.40$ MHz. The assigned transitions are consistent with the C-gauche conformer of the mol. having the NCO group *cis* with respect to the C-C bond.

(M8 CREMP)

C.A. 1993, 118, n12

CuII - $\text{C}_6(\text{OH})_3(\text{NO}_2)_3$

1993

120: 144666r Electron diffraction study of the gas-phase molecular structure of sym-C₆(OH)₃(NO₂)₃. Shishkov, I. F.; Sadova, N. I.; Vilkov, L. V. (Mosk. Gos. Univ., Moscow, Russia). *Kristallografiya* 1993, 38(6), 283-6 (Russ). The mol. structure of trinitrofluoroglycine in gas phase was studied by electron diffraction. Only the N=O bond length and the CC₂C and ONO bond angles could be detd. with high accuracy. Comparison of the results with those for nitrophenol indicate the possibility of the existence of H bonds in trinitrofluoroglycine. The H bond is instrumental in detg. the planar structure of the mol.

M. Guganathan
UCCN/MSR/Chem

C.A. 1994, 120, n12

N,N-dimethylformamide

1993



118: 220158c Molecular structure of *N,N*-dimethylformamide from gas-phase electron diffraction. Schatz, Gyorgy; Hargittai, Istvan (Struct. Chem. Res. Group, Hung. Acad. Sci., H-1431 Budapest, Hung.). *J. Phys. Chem.* 1993, 97(19), 4968-9 (Eng). The mol. structure of gaseous *N,N*-dimethylformamide has been detd. by electron diffraction, yielding the following bond lengths (r_e) and bond angles (θ_e) with estd. total errors: C-H_{1,2}, 1.112 ± 0.003 Å; C=O, 1.224 ± 0.003 Å; (C(H₃)-N)₂, 110.1 ± 0.5°; C(H₃)-N-C(H₃), 113.9 ± 0.5°; C(O)-N-C(H₃)₂, 121.6 ± 0.5°. The exp'd results indicate a slight nonpolarity of the nitrogen bond configuration. The angle C(O)-N-C syn. to C=O is somewhat smaller than the other

C₂H₅OKMNPQ,
2018. Mérnökö
tervezői

C(O)-N-C angle. This and the O-H distance in C=O-H-C, 2.40 ± 0.03 Å, suggest some attractive intramol. interaction which may influence the Me torsion in *N*-methylformamide and *N*-methylacetamide, studied by previous expts.⁶⁻⁹. Similar or shorter O-H distances characterize *N,N*-dimethylacetamide and *N*-methylacetamide according to recent high-level ab initio calcns.

C.A. 1993, 118, N22

$\text{CH}_3\text{OH}-\text{NO}_2$

1993

$\text{CH}_3\text{OH}-\text{NO}_2^+$ Sunderlin L.S., et al.,
(Ap, prepara-
ция)
Chem. Phys. Lett., 1993,
212(3-4), ...

(all $\text{H}_2\text{O}-\text{NO}_2$; III)

NCCCH-CO

1993

119: 148704d High-resolution IR study of the NCCCH-CO complex. Yang, X.; Pearson, R. Z.; Scoles, G. (Dep. Chem., Princeton Univ., Princeton, NJ 08544-1009 USA). *Chem. Phys. Lett.* 1993, 204(1-2), 145-51 (Eng). The high-resoln. IR spectrum of the NCCCH-CO van der Waals mol. was investigated. The ν_1 band of the complex was recorded, analyzed and accurate mol consta. were obtained. The H-C hydrogen bond length was detd. to be 2.615 Å, assuming that the structures of the 2 monomers remain unchanged upon complexation. An anal. of the rotational state dependence of the spectral lineshape allows the authors to obtain the predissocn. lifetime of the complex and to establish the presence of intramol. coupling enhanced predissocn. at the $J = 8$ level and around $J = 22$ of the $\nu_1 = 1$ state. Finally, the results obtained here for OC-HCCN are compared with similar results obtained for OC-HCN in other labs.

(UK, D1)

C.A. 1993, 119, N 14

CH₂NO₂

1994

17 Б1041. Неэмпирическое изучение низколежащих электронных состояний радикала CH₂NO₂. Ab initio study of the low-lying electronic states of the CH₂NO₂ radical /Cai Z.-L. // Int. J. Quantum. Chem. .—1994 .—49 , № 6 .—С. 781—788 .—Англ.

Неэмпирически исследованы низколежащие электронные состояния X²B₁, ^2B₂, ^2A₂ и ^2A₁ радикала CH₂NO₂. Равновесные геометрич. параметры радикала в основном состоянии X²B₁ определены методом КВ с учетом одно- и двукратных возбуждений по отношению к нескольким исходным конфигурациям в двухэкспонентном базисе с поляризац. ф-циями. Энергии вертикальных возбуждений, силы осцилляторов и излучат. времена жизни, рассчитанные для этих состояний также в рамках указанного приближения, находятся в хорошем согласии с эксперим. данными.

Н. С.

Низколежащие
электронные
состояния,

X²B₁, ^2B₂,
^2A₂, ^2A₁

Х. 1994, N/7.

CH_2NO_2

1994

120: 227403d Ab initio study of the low-lying electronic states of the CH_2NO_2 radical. Cai, Z. L. (Dep. Chem., East China Inst. Technol., Nanjing, Peop. Rep. China 210014). *Int. J. Quantum Chem.* 1994, 49(6), 781-8 (Eng). Ab initio electronic structure calcns. are reported for the low-lying electronic states $X^2\text{B}_1$, $^2\text{B}_2$, $^2\text{A}_2$, and $^2\text{A}_1$ of the nitromethyl radical. The geometric parameters for the ground-state $X^2\text{B}_1$ are predicted by MRSDCI calcns. with a double zeta plus polarization basis set. The vertical excitation energies for these electronic states are detd. using MRSDCI/DZ+P calcns. at the ground-state equil. geometry and in agreement with the recent exptl. data obtained via PES of the CH_2NO_2^- anion. The oscillator strengths and the radiative lifetimes for these electronic states and the spin properties for the ground state are calcd. based on the MRSDCI wave functions, predicting results in good agreement with available exptl. data.

MURKIN

MRSDCI. DZ+P

$X^2\text{B}_1$, $^2\text{B}_2$,

$^2\text{A}_2$, $^2\text{A}_1$

influence: polariz., Di,
T_c, mech. ab initio facet

C.A. 1994, 120, N 18

C₆H₅NO₂

[OM-37913]

1994

Chen E.C.M., Wiley J.R., et al.,
J. Phys. Chem., 1994, 98, 88-94

(Ae)

C_2H_5NCO [Ann. 37505]

1994

Heineking N., Frabow J.-U.,
Stahel W.,

M.N. Mol. Phys., 1994, 81, N5,
1177-1185.

The microwave spectrum and

molecular structure of
ethylisocyanate.

C-N-D-H [Om. 37565]

1994

Geffen, Khadikar P., Pol B., et al.,
Korpij, Myllaej
95-III Chimica Acta Turcica,
1994, 22, 85-95.

Molecular symmetry, mean
amplitudes of vibration and
thermodynamic generation of

salicylhydroxamic acid
(SHAA).

$(HNCO)_2$

1994

ab initio
pacem
Copykypre
il canadent.

121: 286868c A theoretical study on the hydrogen-bonded dimers of HNCO molecules. Wang, Yan; Feng, Wen-Lin; Zhang, Shao-Wen; Zhu, Wei-Xin (Chem. Dep., Beijing Normal Univ., Beijing, Peop. Rep. China 100875). *Jiegou Huaxue* 1994, 13(4), 312-15 (Eng). Ab initio method has been employed to investigate the hydrogen-bond between two HNCO mols. Two types of hydrogen-bondings in HNCO dimers have been found, one type is N-H...O, the other is N-H...N. The latter is a little stabler than that of the former. The stabilization energies of the two types of dimers are estd. to be 13KJ/mol-21KJ/mol.

C.A. 1994, 126, N24

N₃C₂H₄OH

1995

F: N3C2H4OH

P: 3

06.Д.0201. Молекулярные свойства 2-азидоэтанола и 2-хлорэтилазида. Теоретическое исследование. Molecular properties of 2-azidoethanol and 2-chloroethyl azide. A theoretical study / Costa Cabral B. J., Costa M. L. // J. Mol. Struct. Theochem. - 1995. - 339. - С. 143-151. - Англ. эмпирическим методом ССП МО ЛКАО в базисах до 6-31 ГФ** с учетом электронной корреляции по МП2 исследовано электронное строение 2-азидоэтанола ($N[3]CH[2]CH[2]OH$) и 2-хлорэтилазида ($N[3]CH[2]CH[2]Cl$) и их анионов. Оценены равновесная геометрия, потенциалы ионизации. Проведен конформационный анализ. Отмечена большая чувствительность результатов, в особенности относит. стабильности конформеров, к величине базиса и учету корреляции.

X. 1996, № 6

$(CO_2)_3 \cdots HCN$

1995

123: 66363k Molecular structure and internal motion in the $(CO_2)_3 \cdots HCN$ tetramer. De Almeida, Wagner B. (Dep. Quimica, U.F.M.G., 31270-901 Belo Horizonte, Brazil). *Spectrochim. Acta, Part A* 1995, 51A(4), 653-60 (Eng). The mol. structure and energetics of the $(CO_2)_3 \cdots HCN$ tetramer are detd. at the ab-initio RHF level of theory employing the split-valence 4-31G and double zeta plus polarization function (DZP) basis sets. Electron correlation effects are accounted for by second-order Moeller-Plesset perturbation theory (MP2) in a single point calcn. at the optimized HF/DZP geometry. The HCN mol. is predicted to interact with a nonplanar $(CO_2)_3$ trimer via the nitrogen end, in agreement with a recent Fourier-transform microwave study. The internal motion in the $(CO_2)_3$ nonplanar subunit has also been examd. The energy barrier for rotation of the CO_2 monomers around one of their symmetry axes is found to be 844 cm^{-1} (RHF/4-31G value), which may inhibit tunneling motion through a planar $(CO_2)_3$ arrangement.

non-planar,
flexible, fairly
ab initio
param

C.A.1995, 123, N 6



1995

Khaikin Z.S.,
Grikina O.E. et al.
ab initio
pačerěm Izv. Acad. Nauk,
Čečenskij, Ser. Khim. 1995,
Vj. (II), 2135-47.



$\text{CO}(\text{NH}_2)_2$

1995

123: 182088y Infrared spectra and force constants of urea in the gaseous phase. Langer, Jutta; Schrader, Bernhard; Bastian, Volker; Jacob, Eberhard (Inst. Physikalische Theoretische Chemie, Univ. Essen, D-45117 Essen, Germany). *Fresenius' J. Anal. Chem.* 1995, 352(5), 489-95 (Eng). IR spectra in the gaseous phase were recorded for urea and the isotopomers urea-d₄, urea-¹⁵N₂, and urea-¹³C. On the base of these data a normal coordinate calcn. was performed, resulting in an optimized force field of urea, showing that, due to the very small intermol. forces, the internal force consts. increase by evapn. This is esp. true for the C:O bond with a force const. increased by 10%.

(ik, evapn),
 $\bar{\nu}_i$)

C.A.1995, 123, N 14

$(CH_3O-NO)H^+$

1996

125: 204981e Protonated methyl nitrite. A theoretical investigation on the structure and stability of $(MeO-NO)H^+$ and the proton affinity of RO-NO (R = H, Me). Aschi, Massimiliano; Grandinetti, Felice (Dipartimento di Studi di Chimica e Tecnologia delle Sostanze Biologicamente Attive, Universita di Roma La Sapienza, P.le A. Moro, 5, 00185 Rome, Italy). *Chem. Phys. Lett.* 1996, 258(1,2), 123-128 (Eng). Ab initio calcns. have been performed on the structure and stability of $(MeO-NO)H^+$ and the proton affinity (PA) of RO-NO (R = H, Me). At the MP4/6-311G**//MP2(FULL)/6-31G* level of theory, the ion-dipole adduct $MeOH-NO^+$ 1 is by far the most stable protomer. At the G2 level, the dissociation enthalpy into $MeOH$ and NO^+ is computed as 25.3 kcal mol⁻¹ and the PAs of $MeO-NO$ and $HO-NO$ amt. to 187 and 188 kcal mol⁻¹, resp. This finding marks a departure from the expected order and parallels the anomalous trend recently ascertained in the PAs of the strictly related $RO-NO_2$ (R = H, Me).

△

f2

C.A. 1996, 125, n16



1) $HO-NO$ (AP)
2) CH_3O-NO (AP)

[H, C, N, O]

1996

Chyles.

Fedor. Pacyna

J. Chem. Phys., 1996, 105, 515
p. 6439

(996)

F: CH₂(NH₂)(OH)

P: 3

17Б162. Глобальный конформационный анализ и аниомерные взаимодействия метандиола, метандиамина и аминометанола. [Исследование методами МП2 и МП4]. Global conformational analysis and the anomeric interactions of methanediol, methanediamine and aminonethanol / Chang Y.-P., Su T.-M. // J. Mol. Struct. Theochem. - 1996. - 365, 2-3. - С. 183-200. - Англ.

Неэмпирическим методом ССП в трехэкспонентном корреляционно-согласованном базисе с учетом электронной корреляции в рамках МП2-МП4 и КВ рассчитаны поверхности потенциальной энергии метилизоцианата и силилизоцианата при движениях с большой амплитудой (изменение угла X-N-C и внутреннее вращение метильной и сilyльной групп). Полученные результаты согласуются с эксперим. данными и формой квазисимметричного волчка для этих молекул.

РМДХ 1997

$(\text{C}_2\text{H}_5\text{ONO}_2)_4\text{H}^+$ [On. 38877]

1996

Massimiliano Aschi; et al.,

Ap,
ab initio
paper

γ -Phys. Chem., 1996, 100,
16522-29.

tr. - cis - уронят

HONOc Nu

CO

ик ертеп 8

маннисе

(1) ~~(2)~~

C.A. 1996, 125, N2

HONO - CO

1996

125: 21328c Matrix Infrared Spectra and ab Initio Calculations of the Nitrous Acid Complexes with N₂ and CO. Mielke, Zofia; Latajka, Zdzislaw; Kolodziej, Joanna; Tokhadze, Konstantin G. (Faculty of Chemistry, Wroclaw University, 50-383 Wroclaw, Pol.). *J. Phys. Chem.* 1996, 100(28), 11610-11615 (Eng). The complexes formed by trans- and cis-HONO isomers with N and CO were obsd. and characterized in Ar matrixes. Six perturbed trans-HONO vibrations and 4 perturbed cis-HONO vibrations were identified for both the N₂ and CO complexes. The perturbation of the OH group vibrations proves that all 4 complexes are H bonded; the blue shifts of the CO vibrations in trans- and cis-HONO complexes as compared to CO monomer indicate the OC-HONO structures in which C atoms are the acceptor sites. The strength of interaction, as evidenced by the perturbation of the OH vibrational modes of the nitrous acid, increases from cis- to trans-isomer and from N to CO. Theor. studies of the structure and spectral characteristics of the complexes formed between the 2 isomers of nitrous acid and N or CO were carried out on the electron correlation level with the 6-31G(d,p) basis set. The binding energy and the calcd. spectral parameters are in very good agreement with exptl. data.

HONO - N₂

$C_2H_4-N_2O$

Atmos

$\nu_0 = 3103.9852 \text{ cm}^{-1}$,

$A'' = 0.282805$

$B'' = 0.083298$

$C'' = 0.066427$

Rhee W.

1996

J. Korean Phys. Soc.

Infrared laser spectroscopy
of a $C_2H_4-N_2O$ Van der Waals
molecule.

CA 1996, 125, 1221796

NO·CH₄

1998

Barr, Jonathan D;
et al.,

shop
creekrock. J. Electron. Spectrosc.
Relat. Phenom. 1998, 97(1-2),
159 - 170

(all. NO;  \overline{III})

C-N-O-H cog.

1998

Bobadolla - Paravarca,
Cmp-za, Petia; et al.,
Di, Gnabrekh.,
Mop. parer J. Phys. Chem. A1998
102 (10), 1815 - 1819.

(all: H_2O ;  III)

NO. CH₄

(OM.39606)

1998

Jonathan D. Barr, John M. Dyke
et al.,

NEKMPH.

μ gomoz. g. Electron Spectrosc.

NEKMP., and Related Pheromone
Proc. 1998, 97, 159-170

ab initio
paper

4558

$\text{NH}_3\text{CH}_3\text{OH}$

129: 281270g Ab initio study of hydrogen bonding cluster $\text{NH}_3\text{-CH}_3\text{OH}$. Li, Yue; Liu, Xianghong; Zhang, Xiaoguang; Wang, Xiuyan; Lou, Nanquan (State Key Lab. Molecular Reaction Dynamics, Dalian Inst. Chem. Physics, Chinese Academy Sci., Dalian, Peop. Rep. China 116023). *Huaxue Wuli Xuebao* 1998, 11(4), 327-333 (Ch), Zhongguo Kexue Jishu Daxue Chubanshe. The $\text{NH}_3\text{-CH}_3\text{OH}$ binary cluster system was studied by ab initio calcns. at the HF/6-31G* and MP2/6-31G** levels. The results show that the neutral $\text{NH}_3\text{-CH}_3\text{OH}$ cluster forms a linear N-H-O hydrogen bonded structure in which CH_3OH acts as a proton donor. For the ionic $\text{NH}_3\text{-CH}_3\text{OH}^+$ cluster, three kinds of equil. conformations are suggested, in which the bridging H atom of types I and II corresponds to H of the hydroxyl group of methanol and ammonia, resp. Type III is the result of an intracluster reaction that H in the Me group of CH_3OH rearranges onto the O atom. The dissociation channels and dissociation energies of both neutral and ionic $\text{NH}_3\text{-CH}_3\text{OH}$ clusters are also presented. The calcns. show that when $\text{NH}_3\text{-CH}_3\text{OH}$

ab initio
na elem
cmplifypk
u
cmplifypk
C.A. 1998, 129, N21

is vertically ionized, a fast intracluster proton transfer reaction should occur and protonated NH₄ (and CH₃O) should be the predominant products. For another channel corresponding to the prodn. of NH₄ (and CH₂OH), it needs a proton rearrangement process (type I → III) taking place in advance. Although the channel has the lowest dissociation energy,

a high barrier of 213.61 kJ/mol makes it less favorable than the former channel.

Hunpoanuser

(-N-O-)

1998

(uk, ckp)

130: 229305d Far IR and Raman vibrational spectra of nitramines. Shlyapochnikov, V. A.; Khaikin, L. S.; Grikina, E.; Cherskaya, N. O.; Maksimova, L. E.; Pyatakov, N. F. (N. D. Zelinsky Institute of Organic Chemistry, Russian Academy of Sciences, Moscow, Russia 117913). *Russ. Chem. Bull.* 1998, 47(11), 2173–2176 (Eng), Consultants Bureau. Vibrational spectra of several nitramines in the long-wave region ($50\text{--}450\text{ cm}^{-1}$) were studied. The frequencies of intra- and intermol. vibrations were sep'd. and a tentative assignment of the frequencies of self-associative complexes was performed.

C. A., 1999, 130, N17

1999

F: H₂NCO₂Et

P: 3 131:65135 Microwave spectrum, conformational equilibrium and quantum chemical calculations of urethane (ethyl carbamate). Marstokk, K. -M.; Mollendal, Harald (Department of Chemistry, University of Oslo, Oslo N- 0315, Norway). Acta Chem. Scand., 53(5), 329-334 (English) 1999 The microwave spectrum of urethane (H₂NCO₂Et) was studied at 16.5- 56.0 GHz at room temp. Two rotamers denoted conformer I and conformer II were assigned. The C-O and O CH₂ bonds are oriented in the syn conformation in both

these rotamers. The H₂NCO₂CC atoms are coplanar in conformer I with the Me group anti to the Ccarbonyl-O bond. The Et group is rotated 98.degree. in conformer II from the position it has in I. Conformer I is 0.5(5) kJ mol⁻¹ more stable than II by relative intensity measurements. The ground vibrational state was assigned for I, whereas t ground and 1 vibrationally excited state were assigned for II. The microwave work was assisted by ab initio computations at the MP2/cc-pVTZ level of theory, as well as d. theory calcns. at the B3LYP/6-31G* level. Both these methods predict similar geometrical structures for the 2 conformers and rotational consts. that are close to the exptl. ones. Bot theor. procedures predict a shallow pyramid around the N nucleus.

1999

F: carbamate

P: 3

130:252036 Microwave spectrum, conformation, barrier to internal rotation, ^{14}N quadrupole coupling constants, dipole moment and quantum chemical calculations for methyl carbamate. Marstokk, K. -M.; Mollendal, Harald (Department of Chemistry, The University of Oslo, Oslo N-0315, Norway). *Acta Chem. Scand.*, 53(2), 79-84 (English) 1999 Munksgaard International Publishers Ltd.

CODEN: ACHSE7. ISSN: 0904-213X. DOCUMENT TYPE: Journal

CA Section: 22 (Physical Organic Chemistry) Section

cross-reference(s): 73 The microwave spectrum of Me carbamate ($\text{H}_2\text{NCO}_2\text{CH}_3$) has been investigated in the 13.5-40.0 GHz spectral region at room temp. One conformer was assigned. This rotamer has a symmetry plane (Cs symmetry) and two out-of-plane hydrogen atoms. The Me and the carbonyl groups are in the syn conformation. The barrier to internal rotation of the Me group is

C.A. 1999, 100, 1113

4235.9(66) J mol-1. The dipole moment is (in units of 10-30 C m) .mu.a=0.544(7), .mu.b=7.653(31), .mu.c=0 (for symmetry reasons) and .mu.tot=7.672(31). The 14N quadrupole coupling consts. were found to be .chi.aa=1.52(27) and .chi.bb=3.51(15) MHz. The microwave work has been assisted by ab initio computations at the HF/6-311++G**, MP2/6-311 ++G** (frozen core) levels of theory, as well as d. theory calcns. at the B3LYP/6-31G* level. microwave spectrum conformation barrier internal rotation methyl carbamate; quadrupole coupling nitrogen 14 methyl carbamate; dipole quantum chem. calcns. for Me carbamate; 598-55-0, microwave spectrum, conformation, barrier to internal rotation, 14N quadrupole coupling consts., dipole moment and quantum chem. calcns. for Me carbamate

1999

F: H₂NCO₂CH₃

P: 3

130:252036 Microwave spectrum,
conformation, barrier to internal rotation
quadrupole coupling constants, dipole moment
and quantum chemical calcula for methyl
carbamate. Marstokk, K. -M.; Mollendal,
Harald (Department of Chemistry, The
University of Oslo, Oslo N-0315, Norway).
Acta Chem. Scand., 53(2), 79-84 (English) 1999
The microwave spectrum of Me carbamate

(H₂NCO₂CH₃) has been investigated in the 13.5-40.0 GHz spectral region at room temp. One conformer was ass This rotamer has a symmetry plane (Cs symmetry) and two out-of-plane hydr atoms. The Me and the carbonyl groups are in the syn conformation. The to internal rotation of the Me group is 4235.9(66) J mol⁻¹. The dipole m is (in units of 10⁻³⁰ C m) .mu.a=0.544(7), .mu.b=7.653(31), .mu.c=0 (for symmetry reasons) and .mu.tot=7.672(31). The

$\text{CH}_3\text{CH}:\text{CH}-\text{NO}$ (syn form)

1999

130: 273426t Generation, Microwave Spectrum, and Ab Initio MO Calculation of trans-1-Nitrosopropene, $\text{CH}_3\text{CH}:\text{CH}-\text{NO}$ (syn form). Sakaizumi, Takeshi; Tanaka, Hideki; Hirano, Kouji; Kuze, Nobuhiko; Ohashi, Osamu (Department of Chemistry, Sophia University, Tokyo, Japan 102-8554). *J. Mol. Spectrosc.* 1999, 194(1), 79-86 (Eng), Academic Press. Trans-1-Nitrosopropene (syn form) was generated in the gas phase by pyrolysis of 1-chloro-1-methyl-2-(hydroxy-imino)ethane and identified by microwave spectroscopy. The microwave spectrum of the pyrolyzate was obsd. at $\nu = 8.0 - 40.0$ GHz. The rotational consts. (MHz) were detd. as A = 34,025(390), B = 2315.62(2), and C = 2198.54(2) for $\text{CH}_3\text{CH}:\text{CH}-\text{NO}$ (normal species) and A = 34,012(530), B = 2300.04(3), and C = 2182.70(2) for $\text{CH}_3\text{CH}:\text{CH}-^{15}\text{NO}$ (^{15}N isotopic

(48 cm⁻¹mp)

C.A., 1999, 130, N20.

species) in the ground vibrational state. The values of planar moment ($P_{ee} = (I_a + I_b - I_c)/2$) obtained for the normal and ^{15}N isotopic species are 1.62(10) and 1.52(13) u\AA^2 , resp. These values are almost the same within the limit of errors. Probably the N atom lies in or is close to the ab inertial plane of the mol. and shows also that only 2 H atoms are located sym. out of the symmetry plane. The pyrolyzate is trans-1-nitrosopropene by comparing the obsd. and calcd. rotational consts., κ (Ray's asym. parameter), and r_s coordinates of the N atom. One vibrationally excited state was obsd. and assigned to the C-N torsional mode (158(50) cm^{-1}). Interesting pyrolyzates such as HCN and acetaldehyde were detected during the pyrolysis of the precursor. The lifetime of trans-1-nitrosopropene is ~5 s in the waveguide cell. (c) 1999 Academic Press.

F: CH(NO₂)₃

1999

P: 3

132:78173 Structure and vibrational spectra of dinitromethane and trinitromethane. Tafipolsky, M. A.; Tokmakov, I. V.; Shlyapochnikov, V. A. N.D. Zelinsky Institute of Organic Chemistry, Russian Academy of Sciences Moscow 117913, Russia J. Mol. Struct., 510(1-3), 149-156 (English) 1999 The mol. geometries of dinitromethane and trinitromethane were optimized and their harmonic force fields were calcd. by the DFT/B3LYP method. The force fields obtained made it possible to interpret reliably the vibrational spectra of dinitromethane, trinitromethane and a no. of isotopomers of trinitromethane. Some general conclusions on geometry and vibrational spectra of the mols. under study are made. The hybrid d. functional method used is shown to predict the reliable structural parameters and vibrational frequencies for polynitromethanes.

C-A. 2000, 132

F: CH₂(NO₂)₂

P: 3

1999

132:78173 Structure and vibrational spectra of dinitromethane and trinitromethane. Tafipolsky, M. A.; Tokmakov, I. V.; Shlyapochnikov, V. A. N.D. Zelinsky Institute of Organic Chemistry, Russian Academy of Sciences Moscow 117913, Russia J. Mol. Struct., 510(1-3), 149-156 (English) 1999 The mol. geometries of dinitromethane and trinitromethane were optimized and their harmonic force fields were calcd. by the DFT/B3LYP method. The force fields obtained made it possible to interpret reliably the vibrational spectra of dinitromethane, trinitromethane and a no. of isotopomers of trinitromethane. Some general conclusions on geometry and vibrational spectra of the mols. under study are made. The hybrid d. functional method used is shown to predict the reliable structural parameters and vibrational frequencies for polynitromethanes.

C.A. 2000, 132

F: MeCOCN

1999

P: 3

131:4990 Fluorescence excitation spectroscopic study of the jet-cooled acetyl cyanide. Yoon, Min-Chul; Choi, Young S.; Kim, Sang Kyu (Department of Chemistry, Inha University, Inchon (402) 751, S. Korea). J. Chem. Phys., 110(15), 7185-7191 (English) 1999 American Institute of Physics. CODEN: JCPSA6. ISSN: 0021-9606. DOCUMENT TYPE: Journal CA Section: 22 (Physical Organic Chemistry) Section cross-reference(s): 73 Fluorescence excitation spectrum of MeCOCN in a supersonic jet was obtained for the $1(n,p^*)$ transition (S_1-S_0). A spectral-origin band is located at 27 511 cm⁻¹, and its fluorescence lifetime is measured as 3.5+0.3 ms. The

C. A. 2000

S1-state vibrational modes assocd. with Me torsion, C-C-O and C-C-N bending, and C-O wagging are optically active. The fluorescence intensity decreases with increasing energy from the origin up to ~2000 cm⁻¹, while the fluorescence lifetime changes little over the same energy region. Instead, a broad background signal appears in the high-energy region, indicating that ntramol. vibrational redistributi becomes important in the S1 state as the d. of states increases.

F: monoethanolamine
P: 3
132:2

²⁰⁰⁰
C-N-H-O

13316 Force Field of Monoethanolamine. Alejandre,
Jose; Rivera, Jose Luis; Mora, Marco Antonio; De la
Garza, Virginia Departamento de Quimica,
Universidad Autonoma Metropolitana-Iztapalapa
Mexico City 09340, Mex. J. Phys. Chem. B,
104(6),

1332-

1337 (English) 2000 We have performed ab initio
calcns. and canonical mol. dynamics simulations to
obtain a force field of monoethanolamine (MEA). The
mol. modeled by seven charged sites, and the force field
includes intramol. degrees of freedom and intermol.
interactions. The charges obtained in t energy
minimization procedure reproduce the exptl. geometry,

C.A.2000, 132

dipole momen and the most stable conformation. Mol. dynamics simulations were carried in the liq. phase and in the liq.-vapor equil. state. Simulations in the liq. region give us information about hydrogen bond formation, while simulations in the two-phase region allow us to obtain the coexisting densities and surface tension as functions of temp. The hydrogen bond is favored when the hydrogen of the hydroxyl group is close to a nitrogen or an oxygen of another mol., and the strength in both cases is the same. Radial distribution functions involving hydrogens and oxygen in the hydro group of MEA are compared with those of water at 298 K, and a similar structure is found for the first neighbor of atoms. The proposed force f gives a good description of the liq.-vapor coexistence of MEA. The liq. obtained in our simulations of the liq.-vapor equil. at 298 K is 1.003 g/ vs. the exptl. value of 1.012 g/cm³. Our estd. crit. point is located at 583.9 K and 0.32 g/cm³ in comparison with the exptl. result of 614 K and 0.3116 g/cm³, resp. At 323 K the calcd. surface tension is 43.2 .+- . 2.5 mN/m while the exptl. value is 44.81 mN/m.

NO. 6446 ($\tilde{\Lambda}$ - \tilde{X}) (D₀)

2000

134: 10966u The $\tilde{\Lambda} - \tilde{X}$ (1 + 1) Resonance-Enhanced Multiphoton Ionization Spectrum of the NO-C₂H₆ and NO-(C₂H₆)₂ Complexes. Daire, Sophia E.; Lozeille, Jerome; Gamblin, Stuart D.; Wright, Timothy G. (School of Chemistry Physics and Environmental Science, University of Sussex Falmer, Brighton, UK BN1 9QJ). *J. Phys. Chem. A* 2000, 104(40), 9180–9183 (Eng), American Chemical Society. The $\tilde{\Lambda} - \tilde{X}$ transitions of NO-C₂H₆ and NO-(C₂H₆)₂ were recorded using (1 + 1) resonance-enhanced multiphoton ionization spectroscopy. The NO-C₂H₆ origin is $44050 \pm 15 \text{ cm}^{-1}$, and the dissociation energy, D_{0'}, of the $\tilde{\Lambda}$ state is $340 \pm 20 \text{ cm}^{-1}$. The latter values allow the dissociation energy of the \tilde{X} state, D_{0''}, to be detd. as $190 \pm 20 \text{ cm}^{-1}$. In addn., ests. of the dissociation energies for the processes NO-(C₂H₆)₂ → NO-C₂H₆ + C₂H₆ and NO-(C₂H₆)₂ → NO + 2C₂H₆ in the \tilde{X} and $\tilde{\Lambda}$ states are obtained; the $\tilde{\Lambda}$ state is dissociative along the NO-C₂H₆-C₂H₆ coordinate. Comparison of the NO-C₂H₆ $\tilde{\Lambda} - \tilde{X}$ spectrum with that of NO-CH₄ is made.

2000

F: NH₂COCH₂CONH₂

P: 3

133:111616 Tautomers and conformers of malonamide,
NH₂-C(O)-CH₂-C(O)- NH₂: vibrational analysis, NMR
spectra and ab initio calculations. Schiavoni, M. M.;
Mack, H.-G.; Ulic, S. E.; Della Vedova, C. O.

Facultad de Ciencias Exactas, Departamento de
Quimica, LADECOR, Universidad Nacional de La Plata La
Plata, Argent. Spectrochim. Acta, Part A, 56A(8), 1533-

1541 (English) 2000. The conformational and tautomeric compns. of malonamide, NH₂-C(O)-CH₂-C(O)-NH₂ were detd. by vibrational spectroscopy and theor. calcns. (HF/6-31G*, B3PW91/6-31G*). Solid state FTIR and Raman spectra were analyzed. They reveal the existence of a diketo tautomer. Theor. calcns. predict a diketo structure belonging to the C₁ symmetry group. No enol form is present in the mol. in the solid. ¹³C-NMR studies show only signals of a diketo tautomer.

2000

F: C59HNO

P: 3

134:272918 Electronic absorption and vibrational spectroscopy of azafullerene C59HN and its oxide C59HNO. Tagmatarchis, Nikos; Shinohara, Hisanori; Pichler, Thomas; Krause, Matthias; Kuzmany, Hans. Department of Chemistry, Nagoya University, Nagoya, Japan. Perkin 2 (2000), (12), 2361-2362. in English.

Monomeric hydroazafullerene C59HN was synthesized and isolated by HPLC in its pure form, which was efficiently oxidized to give C59HNO in the presence of O under irradn. with a UV lamp; mid-IR, UV-visible-NIR and FT-Raman spectra were measured. Analyses of the electronic absorption and vibrational spectra of C59HN and C59HNO are also reported.

2000

F: C59HNO

P: 3

134:272918 Electronic absorption and vibrational spectroscopy of azafullerene C59HN and its oxide C59HNO. Tagmatarchis, Nikos; Shinohara, Hisanori; Pichler, Thomas; Krause, Matthias; Kuzmany, Hans. Department of Chemistry, Nagoya University, Nagoya, Japan. Perkin 2 (2000), (12), 2361-2362. in English.

Monomeric hydroazafullerene C59HN was synthesized and isolated by HPLC in its pure form, which was efficiently oxidized to give C59HNO in the presence of O under irradn. with a UV lamp; mid-IR, UV-visible-NIR and FT-Raman spectra were measured. Analyses of the electronic absorption and vibrational spectra of C59HN and C59HNO are also reported.

$\text{NO} \cdot \text{CH}_4$

2001

$\text{NO} \cdot \text{CD}_4$

135: 83744a The $\bar{A}^2\Sigma^+ - \bar{X}^2\Pi$ transition of the $\text{NO} \cdot \text{CH}_4$ and NO-CD_4 complexes. Daire, Sophia E.; Lozeille, Jerome; Gamblin, Stuart D.; Wright, Timothy G.; Lee, Edmond P. F. (Spectroscopy of Complexes and Radicals (SOCAR) Group, School of Chemistry, Physics and Environmental Science, University of Sussex, Falmer, Brighton, UK BN1 9QJ). *Phys. Chem. Chem. Phys.* 2001, 3(6), 917–924 (Eng), Royal Society of Chemistry. NO-CH_4 and NO-CD_4 were studied in a mol. beam, using (1+1) resonance-enhanced multiphoton ionization (REMPI) spectroscopy. A detailed spectrum results in each case, with bands obsd., assigned to intermol. vibrations onto which is superimposed further

$(\bar{A}^2\Sigma^+ - \bar{X}^2\Pi)$

C.A. 2001, 135, 16

structure. The origin of this further structure is discussed in the light of previous studies. From the spectrum, a no. of intermol. vibrational frequencies in the \bar{A} state were obtained. D_0' for NO-CH₄ (NO-CD₄) was measured as 211(238) cm⁻¹; with D_0'' for NO-CH₄ (NO-CD₄) being derived as 117(122) cm⁻¹. Ab initio calcns. were performed on the \bar{X} state, and the \bar{X} state has a C_s global min., with the NO pointing towards a Me face, with the N tilted towards the methane. This indicates, from the energetic proximity of a no. of stationary points, the complex is expected to be performing wide amplitude motion, sampling a wide range of energies even with the zero-point energy.

2091

$H_2O-N(CH_3)_3$

Boekel, James R.; et al.;
J. Phys. Chem. A 2091,
105(26), 6430-6435

UK 6
manuscript

(all. H_2O- $\bullet N(H_3)^{III}$)

$\text{Ni}^{+2}\text{Cu}(\text{NAr})^2$

2881

Shlyapochnikov V. A.

Chirkova, Tafirovsky N.A. et al;

Chemir

J. Mol. Struct., 2021,
559 (1-3), 147-166.

On the still  titan and
dinitramide

salt 8.